



ECOLE  
**POLYTECHNIQUE**  
DE BRUXELLES

# ELEC-H304 Rapport de Projet: Réalisation d'un logiciel de ray- tracing Wi-Fi IEEE 802.11ay

---

**Lucas Placentino**  
**Salman Houdaibi**

Cours:

ELEC-H304 — Philippe De Doncker

Année académique:

2023-2024

# Table des matières

<b>Introduction</b>	<b>1</b>
<b>1 Modélisation</b>	<b>2</b>
1.1 Hypothèses physiques . . . . .	2
1.1.1 Hypothèses de départ . . . . .	2
1.1.2 Hypothèse de champ lointain . . . . .	2
1.1.3 Propriétés des antennes $\lambda/2$ . . . . .	3
1.2 Propagation des ondes . . . . .	3
1.2.1 Propriétés des murs . . . . .	3
1.2.2 Réflexions et transmissions . . . . .	4
1.2.3 Directivité et gain . . . . .	4
1.2.4 Champ électrique et puissance . . . . .	5
1.3 Méthode des images . . . . .	5
1.3.1 Principe de la méthode . . . . .	6
1.3.2 Détermination du point de réflexion . . . . .	6
1.3.3 Cas à deux réflexions . . . . .	6
<b>2 Implémentation</b>	<b>7</b>
2.1 Interface utilisateur . . . . .	7
2.2 Algorithme . . . . .	8
2.3 Affichage . . . . .	8
2.4 Ajouts futurs possibles . . . . .	10
2.5 Performances . . . . .	10
<b>3 Validation</b>	<b>11</b>
3.1 Calculs pour rayon à deux réflexions, cas A . . . . .	11
3.1.1 Positions des réflexions . . . . .	11
3.1.2 Coefficients . . . . .	12
3.1.3 Champ et puissance . . . . .	13
3.2 Comparaison calculs et simulation . . . . .	13
3.3 Affichage simulation des rayons . . . . .	13
<b>4 Analyse performance</b>	<b>15</b>
4.1 Résultats . . . . .	15
4.1.1 Emplacement par défaut (salon) . . . . .	15
4.2 Suggestions placement station de base . . . . .	16
4.3 Suggestion nombre de stations de base . . . . .	17
4.4 Critique de la simulation . . . . .	18
<b>5 Optimisations code</b>	<b>19</b>
<b>Conclusion</b>	<b>20</b>

<b>Annexes</b>	<b>21</b>
A    Discussion du débit binaire près de l'ascenseur . . . . .	21
B    Code . . . . .	23
B.1    main.cpp . . . . .	23
B.2    simulation.cpp . . . . .	24
B.3    transmitter.cpp . . . . .	41
B.4    receiver.cpp . . . . .	43
B.5    obstacle.cpp . . . . .	46
B.6    ray.cpp . . . . .	49
B.7    raysegment.cpp . . . . .	52
B.8    parameters.h . . . . .	53
B.9    algorithm.cpp . . . . .	54
B.10   Autres parties du code . . . . .	57
<b>Bibliographie</b>	<b>58</b>

# Introduction

Ce rapport présente le projet de *ray tracing* donné dans le cadre du cours d'ELECH304 - Physique des Télécommunications, cours donné en troisième année de bachelier en cursus d'ingénieur civil en option électronique et télécommunication et en option physique. L'objectif du projet est de réaliser un code de calcul qui permet d'analyser la couverture réseau d'antennes Wi-Fi IEEE 802.11ay. Celle-ci est simulée via ray-tracing en utilisant la méthode des images. Plusieurs simplifications physiques et géométriques sont détaillées puis prises en compte dans la réalisation. L'espace dans lequel la simulation est faite est un appartement composé de plusieurs pièces, avec des murs de matériau différents et donc de propriétés physiques différentes.

Une application dotée d'une interface graphique a été réalisée afin de simplifier le lancement et la paramétrisation de la simulation.

L'objectif final est d'observer la couverture du réseau dans l'appartement entier, afin d'ensuite optimiser le placement de la station de base pour maximiser cette couverture à une vitesse la plus élevée possible.

# Chapitre 1

## Modélisation

### 1.1 Hypothèses physiques

#### 1.1.1 Hypothèses de départ

Pour simplifier la réalisation du code, plusieurs simplifications géométriques et physiques ont été prises en compte.

#### Spécificités du réseau

Notre couverture de base est assurée par une antenne dipôle  $\lambda/2$ , celle-ci sera considérée sans perte. Elle émettra avec une fréquence de 60 GHz (suivant la norme Wi-Fi IEEE 802.11 ay) et avec une puissance de 20 dBm. Pour la réception, nous considérons un seuil minimal de -90 dBm et un seuil maximal de -40 dBm. Les débits binaires correspondants valent respectivement 50 Mb/s et 40 Gb/s.

#### Géométrie du problème

Nous ne prendrons en compte que deux dimensions de l'espace, c'est à dire que nous considérons que les antennes sont placées à une même hauteur sur l'axe  $z$  et n'émettent et ne reçoivent que dans la dimension transverse à celui-ci. Nous ne considérons donc que les dimensions  $(x, y)$  de nos murs.

#### Simulation de la couverture de base

L'étude de la couverture de base de la borne Wi-Fi se fait via la méthode des images (détaillée plus loin) qui nous permettra de tracer le trajet des rayons entre l'antenne émettrice et l'antenne réceptrice. On considérera les rayons transmis à travers les murs, et les ondes réfléchies avec un maximum de deux réflexions. On ne prendra pas en compte la diffraction des ondes.

#### 1.1.2 Hypothèse de champ lointain

Afin d'utiliser nos méthodes de tracé de rayon, nous allons déterminer dans quel cadre théorique on se place. Les dimensions de notre problème nous imposent de travailler sous les hypothèses de *champ lointain*.

La frontière de champ lointain est définie avec

$$r_f = \max \left\{ 1.6\lambda, 5D, \frac{2D^2}{\lambda} \right\}$$

avec  $D$  la dimension du circuit émetteur et  $\lambda$  la longueur d'onde déduite de la fréquence de travail  $f$ . Nos émetteurs sont des émetteurs de type  $\lambda/2$ , leur dimension vaut donc approximativement  $\lambda/2$ . Notre fréquence de travail est celle du Wi-Fi IEEE 802.11ay et donc  $f = 60\text{GHz}$ .

On peut donc évaluer  $\lambda$  via

$$\lambda = \frac{c}{f} = 5 \cdot 10^{-3} \text{m}$$

On en déduit que  $r_f = 5D = 1.25 \text{cm}$  et que donc notre approximation est donc tout à fait valable car notre espace est découpé en carrés de 0.5m de largeur.

### 1.1.3 Propriétés des antennes $\lambda/2$

Les propriétés des antennes dipôles, dites  $\lambda/2$ , ont été étudiées au cours, dans le chapitre relatif aux antennes, d'où nous déduirons nos équations. Dans notre cas, l'antenne n'a pas de pertes et une résistance  $R_a = 73\Omega$ . Placée sur l'axe  $z$ , sa hauteur équivalente s'exprime comme

$$\vec{h}_e(\theta, \phi) = -\frac{\lambda \cos\left(\frac{\pi}{2} \cos \theta\right)}{\pi \sin^2 \theta} \vec{1}_z$$

Cependant, comme énoncé plus haut, nous n'allons considérer que deux dimensions de l'espace, et donc nous prendrons  $\theta = \frac{\pi}{2}$ .

$$\vec{h}_e\left(\frac{\pi}{2}, \phi\right) = -\frac{\lambda}{\pi} \vec{1}_z$$

Nous prendrons cette valeur en compte dans le calcul des puissances.

## 1.2 Propagation des ondes

Les formules de cette section sont issues du cours, principalement du chapitre relatif aux calculs de coefficients de réflexion, transmission et diffraction.

### 1.2.1 Propriétés des murs

Les champs se propageront soit dans l'air (assimilé au vide) soit en traversant et/ou en se réfléchissant sur des murs. Pour calculer les effets relatifs à ces interactions entre les murs et les ondes, on utilisera leurs propriétés électriques. Ces propriétés sont données par la constante de propagation dans un matériau

$$\gamma_m = \alpha_m + j\beta_m = j\omega\sqrt{\mu_0\tilde{\varepsilon}}$$

avec  $\tilde{\varepsilon}$  la permittivité complexe ( $\tilde{\varepsilon} = \varepsilon_r \varepsilon_0 - j\frac{\sigma}{\omega}$ , où  $\varepsilon_r$  est la permittivité relative, et  $\sigma$  la conductivité) du matériau,  $\omega$  la pulsation de l'onde, et  $\mu_0$  la perméabilité du vide, repris dans ce tableau [Table 1.1] :

Matériau	$\varepsilon_r$	$\sigma$ [S/m]
brique	3.95	0.073
béton	6.4954	1.43
cloison	2.7	0.05346
vitre	6.3919	0.00107
paroi métallique	1	$10^7$

TABLE 1.1 – Propriétés des différents matériaux [PYP08]

### 1.2.2 Réflexions et transmissions

#### Angle transmis

Pour calculer l'angle transmis  $\theta_t$  à l'interface entre deux matériaux on utilise la loi de Snell-Descartes qui s'exprime via

$$\sin \theta_t = \sqrt{\frac{\varepsilon_{r1}}{\varepsilon_{r2}}} \sin \theta_i$$

avec  $\theta_i$  l'angle incident, et  $\varepsilon_r$  la permittivité relative. En pratique, nous assimilerons l'air au vide et prendrons donc  $\varepsilon_{r1} = 1$  pour celui-ci.

#### Impédance

Pour évaluer nos coefficients de transmission et de réflexion, on définit l'impédance d'un matériau  $Z_m$  comme suit

$$Z_m = \sqrt{\frac{\mu}{\varepsilon}} = \sqrt{\frac{\mu_0}{\varepsilon - j\frac{\sigma}{\omega}}}$$

avec  $\mu_0$  la perméabilité du vide,  $\varepsilon$  la permittivité du matériau ( $\varepsilon = \varepsilon_r \varepsilon_0$ ),  $\sigma$  sa conductivité et  $\omega$  la pulsation de l'onde électromagnétique.

#### Coefficient de transmission

Le coefficient de transmission à travers un obstacle se calcule avec cette formule

$$T_m(\theta_i) = \frac{(1 - \Gamma_{\perp}^2(\theta_i))e^{-\gamma_m s}}{1 - \Gamma_{\perp}^2(\theta_i)e^{-2\gamma_m s}e^{j\beta 2s \sin \theta_t \sin \theta_i}}$$

où  $\Gamma_{\perp}$  est le coefficient de réflexion de la polarisation perpendiculaire, qui se calcule comme suit

$$\Gamma_{\perp}(\theta_i) = \frac{Z_m \cos \theta_i - Z_0 \cos \theta_t}{Z_m \cos \theta_i + Z_0 \cos \theta_t}$$

#### Coefficient de réflexion

Le coefficient de réflexion se calcule comme suit :

$$\Gamma_m(\theta_i) = \Gamma_{\perp}(\theta_i) - \frac{(1 - \Gamma_{\perp}^2(\theta_i))\Gamma_{\perp}(\theta_i)e^{-2\gamma_m s}e^{j\beta 2s \sin \theta_t \sin \theta_i}}{1 - \Gamma_{\perp}^2(\theta_i)e^{-2\gamma_m s}e^{j\beta 2s \sin \theta_t \sin \theta_i}}$$

où  $\Gamma_{\perp}$  se calcule de la même manière que pour le coefficient de transmission.

### 1.2.3 Directivité et gain

Les antennes n'émettent pas de manière isotrope. Leur efficacité dépend de la direction dans laquelle elles émettent/reçoivent l'onde. Pour quantifier cela, on fait appel à un coefficient appelé le gain d'antenne  $G(\theta, \phi)$ , qui défini à partir de l'efficacité d'antenne  $\eta$  et de sa directivité  $D(\theta, \phi)$  (définie comme le quotient de son intensité rayonnée dans une direction  $U$  et de son intensité rayonnée moyenne  $P/4\pi$ ). Mis sous forme d'équation nous avons

$$G(\theta, \phi) = \eta D(\theta, \phi) = \eta \frac{U(\theta, \phi)}{P_{ar}/4\pi}$$

Or, nous avons supposé par hypothèse que notre antenne a un rendement maximal  $\eta = 1$ . Nous avons une antenne  $\lambda/2$ , et comme toutes nos antennes émettent et reçoivent dans le plan horizontal, nous savons évaluer la directivité dans cette direction (qui est la direction maximale pour ce genre d'antennes), qui vaut donc :

$$D(\theta = \frac{\pi}{2}) = \frac{16}{3\pi} \approx 1.7 = G(\theta = \frac{\pi}{2})$$

## 1.2.4 Champ électrique et puissance

### Champ électrique

L'amplitude du champ électrique de l'onde électromagnétique reçue au point de réception sera impactée par toutes les réflexions et transmissions qu'elle subira durant le trajet qui la mène au récepteur. Pour modéliser cela, on se sert des coefficients appropriés définis précédemment, l'amplitude du champ sera

$$\underline{E}_n = T_1 T_2 \dots \Gamma_1 \Gamma_2 \dots D_1 D_2 \dots \sqrt{60 G_{TX} P_{TX}} \frac{e^{-j\beta d_n}}{d_n} \quad (1.1)$$

avec  $d_n$  la distance parcourue par l'onde,  $D_n$  les coefficients de diffraction (qui ne seront pas pris en compte pour le projet donc vaudront 1) et  $P_{TX}$  la puissance de l'antenne transmettrice. Les autres paramètres de l'équation sont ceux définis plus haut.

### Puissance reçue

L'onde électromagnétique, quand elle est réceptionnée au point d'antenne, a une valeur de puissance calculable comme suit

$$P_{RX} = \frac{1}{8R_a} \left| \sum_{n=1}^N \vec{h}_e(\theta_n, \varphi_n) \cdot \vec{E}_n(\vec{r}) \right|^2$$

Cependant, pour évaluer la puissance moyenne reçue sur une zone locale nous considérons

$$\langle P_{RX} \rangle = \frac{1}{8R_a} \sum_{n=1}^N \left| \vec{h}_e(\theta_n, \varphi_n) \cdot \vec{E}_n(\vec{r}) \right|^2$$

Avec tous les termes définis dans les sections précédentes. Qui, une fois développés donneront la formule utilisée dans l'implémentation que voici (1.2)

$$\langle P_{RX} \rangle = \frac{60\lambda^2}{8\pi^2 R_a} P_{TX} G_{TX} \sum_{n=1}^N \left| \Gamma_1 \Gamma_2 \dots T_1 T_2 \dots \frac{e^{-j\beta d_n}}{d_n} \right|^2 \quad (1.2)$$

## 1.3 Méthode des images

Pour modéliser toutes les ondes (d'une ou deux réflexions) qui sont transmises de l'émetteur au récepteur, nous utilisons la méthode des images. Cette méthode repose sur la notion d'antennes images, qui sont des antennes fictives placées de manière à simuler les effets des réflexions.



### 1.3.1 Principe de la méthode

Le principe de la méthode des images est de remplacer les réflexions des ondes sur les surfaces par des sources fictives, appelées images, situées de l'autre côté de ces surfaces. Chaque réflexion sur une surface peut être modélisée par une image située symétriquement par rapport à cette surface.

### 1.3.2 Détermination du point de réflexion

Considérons une antenne émettrice  $TX$ , placée en un point du côté droit d'un mur. La position du point de réflexion peut être calculée comme suit :

$$P_r \equiv \vec{x}_0 + t\vec{u} \text{ avec } t = \frac{d_y(r_{ix} - x_0) - d_x(r_{iy} - y_0)}{u_x d_y - u_y d_x}$$

avec donc,  $\vec{x}_0$  la position origine du mur,  $\vec{u}$  le vecteur directionnel du mur,  $r_{ix}$  et  $r_{iy}$  les coordonnées de l'antenne réceptrice, et  $d_x$ ,  $d_y$ ,  $u_x$ , et  $u_y$  les composants des vecteurs directionnels.

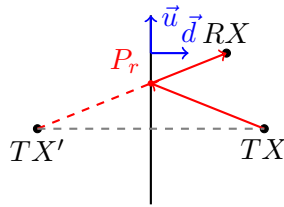


FIGURE 1.1 – Antenne image  $TX'$  de l'émettrice  $TX$

### 1.3.3 Cas à deux réflexions

Pour le cas à deux réflexions, il suffit de prendre d'abord en compte l'image du premier mur sur lequel on se reflète ( $I_1$  sur le schéma), et puis à partir de ce point image, on détermine son propre point image par rapport au second mur sur lequel on se reflète ( $I_2$ ).

On considère alors que le point de réflexion sur le second mur ( $Pr_2$ ) est l'intersection entre ledit mur et le récepteur, et pour le premier point de réflexion ( $Pr_1$ ), il s'agit de l'intersection entre la première image et  $Pr_2$ . Ceci est illustré sur la figure 1.2. Il est pertinent de noter que la distance totale du rayon (composé des trois traits verts) est égale à la distance entre le récepteur ( $RX$ ) et le dernier point image ( $I_2$ ).

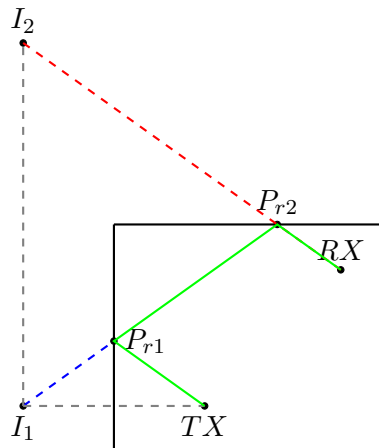


FIGURE 1.2 – Méthode des images pour deux réflexions entre  $TX$  et  $RX$

# Chapitre 2

## Implémentation

### 2.1 Interface utilisateur

Une interface graphique (visible sur la Figure [2.1]) a été créée afin de faciliter l'exécution de la simulation pour un utilisateur selon ses paramètres choisis, sans devoir recompiler le programme, ni entrer ses paramètres via une ligne de commande.

L'utilisateur peut choisir les coordonnées de la station de base ainsi que le mode de simulation :

- Une *heatmap* de la couverture,
- Des tracés de rayons jusqu'à une seule cellule réceptrice.

Le mode *Coverage Heatmap* permet d'avoir le rendu de la couverture de l'appartement, où l'utilisateur peut choisir la résolution des cellules réceptrices carrées de la carte (leur largeur, allant de 0,5m à 0,0625m).

Quant au mode *Rays to Single Cell*, il permet de visualiser tous les rayons simulés vers une unique cellule (de largeur 0,5m), où l'utilisateur peut choisir les coordonnées de cette cellule.

Le groupe de boutons du dessous contrôle les paramètres de la/des stations de base. L'utilisateur peut rajouter et enlever des émetteurs (en gardant un émetteur au minimum), et modifier leurs coordonnées et leurs puissances.

Le haut de l'interface contient un large bouton *Run simulation* qui permet de lancer la simulation avec les paramètres rentrés. Au-dessus de ce bouton se trouve un cadre qui affichera si la simulation s'est finie avec succès, ainsi que son temps d'exécution en millisecondes. En dessous du bouton se trouve une barre de progression de la simulation. Ceci est visible Figure [2.4].

En haut de la fenêtre se trouve trois menus :

- Le premier (*Menu*) permet de sauvegarder une image de la simulation après son exécution, et permet également de réinitialiser l'application ou de la fermer.
- Le second (*Info*) permet d'avoir des informations sur l'application, et donne aussi un lien vers le Github du projet.
- Le troisième (*TP4-Simulation*) permet de lancer le rendu de la simulation de l'exercice 1 du TP4, ainsi que de sauvegarder une image de celui-ci.

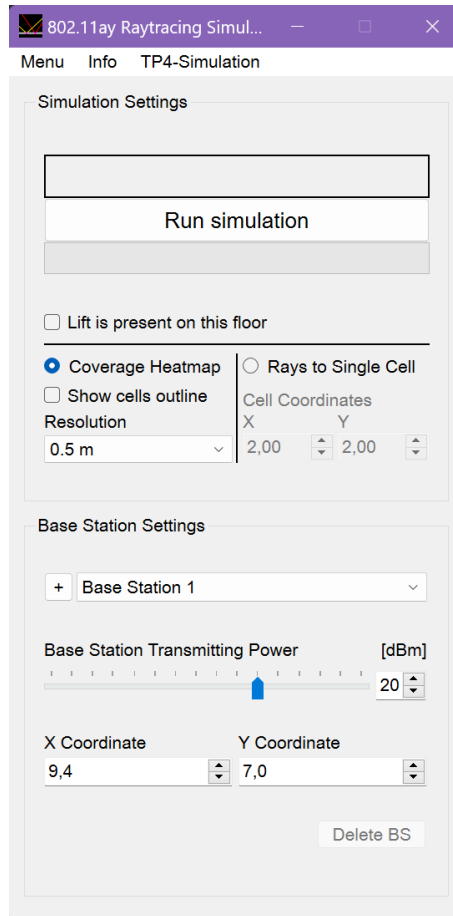


FIGURE 2.1 – Interface utilisateur du programme

## 2.2 Algorithme

L'algorithme est simplement une itération sur une matrice de cellules (cellule = récepteur) qui calcule la puissance reçue par chacune. Pour chaque récepteur, un rayon direct est tracé depuis l'émetteur vers celui-ci, les coefficients d'éventuelles transmissions à travers des obstacles rencontrés sont calculés. Ensuite, les rayons à plusieurs réflexions sont pris en compte, en vérifiant si l'émetteur (ou ses images) et le récepteur sont du même côté de l'obstacle. Si c'est le cas, l'image de l'émetteur (ou de son image) par rapport à l'obstacle est déterminée, et le point de réflexion est calculé. Les segments de rayon entre le transmetteur, les points de réflexion et le récepteur sont créés, et les coefficients de réflexion sont calculés en fonction de l'angle d'incidence et des propriétés du matériau de l'obstacle. D'éventuelles transmissions après réflexion sont aussi vérifiées et calculées. La puissance totale reçue par chaque récepteur est ensuite calculée en additionnant les contributions de tous les rayons (direct et réfléchis), tel que décrit l'équation [1.2].

## 2.3 Affichage

Après l'exécution d'une simulation, l'application affiche à l'utilisateur une visualisation graphique de cette simulation. Un exemple est visible Figure [2.3] (pour un mode *Rays to Single Cell*). Elle présente une carte de l'appartement, les axes, ainsi qu'une légende. Les

murs/parois sont représentés par des traits de couleurs et épaisseurs différentes représentant leurs matériaux. L'émetteur est représenté par un point blanc. Les cellules réceptrices seront représentées par des carrés de couleurs indiquant leurs débits binaires selon le dégradé affiché dans la légende.

L'échelle de couleur (un dégradé à 5 points<sup>1</sup>, utilisé communément dans les *heatmaps*) a été choisie pour représenter le logarithme du débit binaire, ou la puissance en dBm. Elle a donc été limitée à un minimum de 50Mb/s (ou -90dBm) et à un maximum de 40Gb/s (ou -40dBm).

Il est possible d'afficher davantage d'informations dans une info-bulle sur l'émetteur ou sur une cellule réceptrice lors de leur survol avec la souris (voir Figure [2.2]).

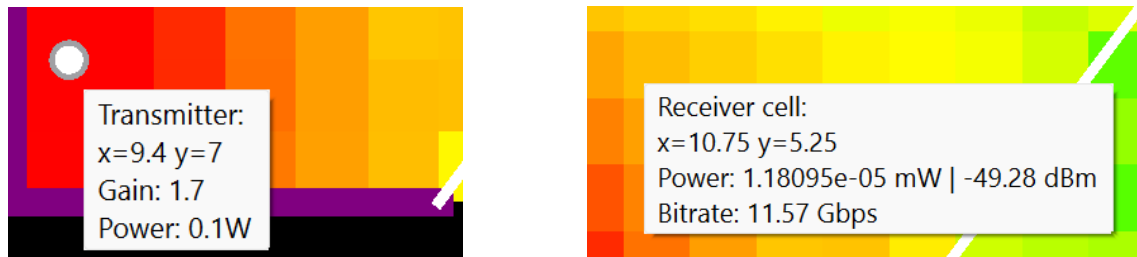


FIGURE 2.2 – Exemple d'info-bulle au survol (curseur souris caché)

Pour une mode de simulation *Rays to Single Cell*, la cellule réceptrice est représentée comme un carré magenta, les points de réflexions sont en vert, et les rayons sont coloriés en fonction de leur nombre de réflexions. Le programme affiche alors ceci [Figure 2.3] :

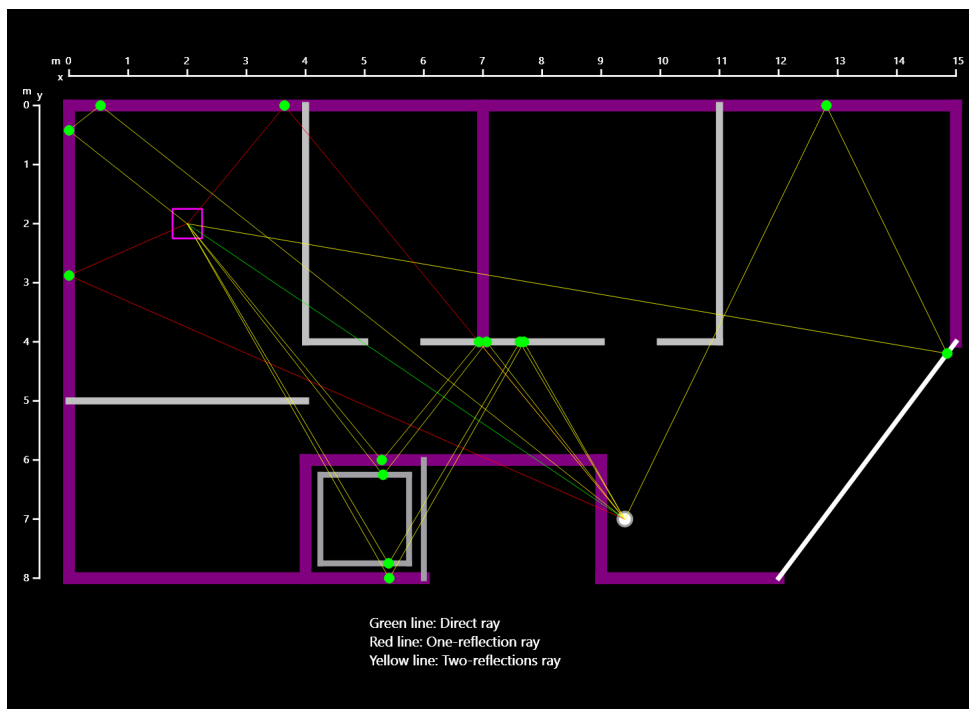


FIGURE 2.3 – Simulation *Rays to Single Cell* pour une cellule en (2,2)m et un émetteur en (9.4,7)m

1. 0% : bleu, 25% : cyan, 50% : vert, 75% : jaune, 100% : rouge

## 2.4 Ajouts futurs possibles

Les ajouts et améliorations futurs possibles sont :

- Sélection du nombre maximal de réflexions des rayons (nécessitant un algorithme de ray-tracing récursif)
- Importation de différentes cartes d'appartement
- Diffraction des ondes

## 2.5 Performances

Le temps d'exécution pour une simulation exemple, de résolution de cellule de  $0.125\text{m} \times 0.125\text{m}$  est aux alentours des 500ms [Figure 2.4], avec une utilisation de 2,8GB de RAM, soit des performances tout à fait acceptables. Une simulation à la plus basse résolution (de base) de  $0.5\text{m} \times 0.5\text{m}$  prend une trentaine de millisecondes.<sup>2</sup>

Le temps d'exécution a été calculé grâce à un objet `QTimer`, lancé après une pression du bouton *Run simulation* et stoppé juste avant l'affichage graphique.

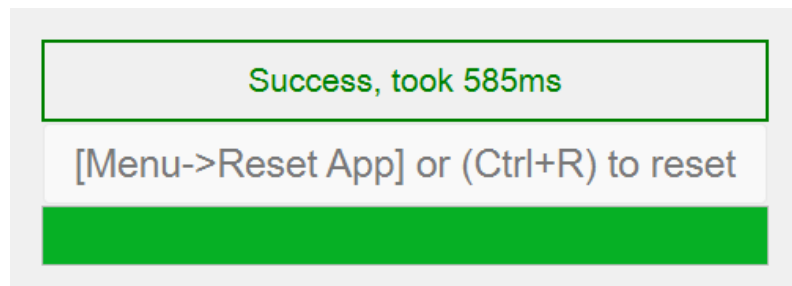


FIGURE 2.4 – Temps d'exécution simulation de résolution 0.125m

Le temps d'exécution pour une simulation *Rays to Single Cell*, ou pour la simulation du TP4, tourne autour des 2ms.

---

2. Exécution sur un laptop doté d'un CPU AMD Ryzen 7 5800U avec 16GB de RAM, en mode *économie d'énergie*.

# Chapitre 3

## Validation

Remarque : lors de la simulation de la situation de l'exercice 1 du TP4, nous ne pouvons pas utiliser la puissance sur une zone locale  $\langle P_{RX} \rangle$  (équation 1.2), mais bien  $P_{RX}$  en un point de l'espace (équation 3.1).

$$P_{RX} = \frac{60\lambda^2}{8\pi^2 R_a} P_{TX} G_{TX} \left| \sum_{n=1}^N \Gamma_1 \Gamma_2 \Gamma_3 \dots T_1 T_2 T_3 \frac{e^{-j\beta d_n}}{d_n} \right|^2 \quad (3.1)$$

Le calcul du champ électrique utilise l'équation (1.1).

L'exercice 1 du TP4 utilise un  $P_{TX} G_{TX} = 1.64$ , une fréquence à 868.3MHz, une résistance d'antenne  $R_a = 73\Omega$ , ainsi que des murs ayant comme permittivité relative  $\varepsilon_r = 4.8$  et comme conductivité  $\sigma = 0.018S/m$ .

### 3.1 Calculs pour rayon à deux réflexions, cas A

La méthode pour obtenir les valeurs du cas à deux réflexions est celle brièvement présentée dans la section correspondante, et le cas à déterminer est d'ailleurs le même que la figure correspondante.

#### 3.1.1 Positions des réflexions

La position des images antenne s'obtient par symétrie,  $I_1 = (-32, 10)$  et ensuite  $I_2 = (-32, 150)$ . On commence par déterminer le point  $P_{r2}$  qui est l'intersection entre le mur horizontal le plus élevé sur l'axe  $y$  (mur B) et  $\overrightarrow{I_2 R \hat{X}}$ . On commence par évaluer  $\overrightarrow{I_2 R \hat{X}}$  :

$$\overrightarrow{I_2 R \hat{X}} = (79, -85) \rightarrow \|\overrightarrow{I_2 R \hat{X}}\| = 116.04 \rightarrow \frac{\overrightarrow{I_2 R \hat{X}}}{\|\overrightarrow{I_2 R \hat{X}}\|} = (0.68, 0.73)$$

Avec cela, on peut déterminer  $P_{r2}$ , dont on connaît la coordonnée  $y = 80$  et dont on veut déterminer la coordonnée  $x$ .

$$P_{r2} = I_2 + \frac{\overrightarrow{I_2 R \hat{X}}}{\|\overrightarrow{I_2 R \hat{X}}\|} t \rightarrow t = 95.56 \rightarrow x = 33.06 \rightarrow P_{r2} = (33.06, 80)$$

Et on peut déterminer de la même manière, la coordonnée de  $P_{r1}$ , connaissant celle de  $P_{r2}$ , le vecteur est donc  $\overrightarrow{I_1 P_{r2}}$ . Nous obtenons

$$\overrightarrow{I_1 P_{r2}} = (65.06, 70) \rightarrow \|\overrightarrow{I_1 P_{r2}}\| = 95.57 \rightarrow \frac{\overrightarrow{I_1 P_{r2}}}{\|\overrightarrow{I_1 P_{r2}}\|} = (0.68, 0.73)$$

On connaît cette fois ci la coordonnée  $x = 0$  du point de réflexion, et on cherche  $y$ .

$$P_{r1} = I_1 + \frac{\overrightarrow{I_1 P_{r2}}}{\|\overrightarrow{I_1 P_{r2}}\|} t \rightarrow t = 47 \rightarrow y = 44.43 \rightarrow P_{r1} = (0, 44.43)$$

Il nous reste finalement à déterminer  $P_t$  le point d'intersection entre  $\overrightarrow{P_{r1}TX}$  et le mur vertical passant par  $A = (0, 20)$ .

$$\overrightarrow{P_{r1}TX} = (-32, 34.43) \rightarrow \|\overrightarrow{P_{r1}TX}\| = 47 \rightarrow \frac{\overrightarrow{P_{r1}TX}}{\|\overrightarrow{P_{r1}TX}\|} = (-0.68, 0.73)$$

On connaît la coordonnée  $y = 20$ ,

$$P_t = TX + \frac{\overrightarrow{P_{r1}TX}}{\|\overrightarrow{P_{r1}TX}\|}t \rightarrow t = 13.65 \rightarrow x = 22.71 \rightarrow P_{r1} = (22.71, 20)$$

### 3.1.2 Coefficients

Nous évaluerons les coefficients en prenant le même ordre que celui du calcul des points de réflexion et transmission. Nous commençons par déterminer  $\Gamma_2$  associé à la réflexion en  $P_{r2}$ , avec la normale est  $(0, -1)$  nous avons

$$\cos \theta_i = \langle \frac{\overrightarrow{I_2RX}}{\|\overrightarrow{I_2RX}\|}, (0, -1) \rangle = 0.73 \rightarrow \sin \theta_i = \sqrt{1 - \cos^2 \theta_i} = 0.68$$

L'obtention des composantes transmises dans le mur se font via la loi de Snell, avec  $\varepsilon_r = 4.8$

$$\sin \theta_t = \frac{1}{\sqrt{\varepsilon_r}} \sin \theta_i = 0.31 \rightarrow \cos \theta_t = 0.95$$

La distance parcourue par le rayon dans le mur  $s$ , est par conséquent

$$s = \frac{l}{\cos \theta_t} = 0.16$$

Avec  $Z_m = (171.57 + 6.65j)\Omega$  et  $Z_0 = 377\Omega$ , le coefficient  $\Gamma_{\perp}$  de polarisation perpendiculaire vaut

$$\Gamma_{\perp} = \frac{Z_m \cos \theta_i - Z_0 \cos \theta_t}{Z_m \cos \theta_i + Z_0 \cos \theta_t} = -0.48 + 0.015j$$

On peut donc, pour finir, évaluer  $\Gamma_2$

$$\Gamma_m = \Gamma_{\perp} - \frac{(1 - \Gamma_{\perp}^2)\Gamma_{\perp}e^{-2\gamma_m s}e^{j\beta 2s \sin \theta_t \sin \theta_i}}{1 - \Gamma_{\perp}^2 e^{-2\gamma_m s}e^{j\beta 2s \sin \theta_t \sin \theta_i}} = -0.42 + 0.25j$$

Les calculs pour  $\Gamma_1$  se font de la même manière que précédemment, il nous suffit alors d'indiquer les résultats intermédiaires. Avec le mur de normale  $(1, 0)$ , on obtient  $\cos \theta_i = 0.68$ ,  $\sin \theta_i = 0.73$ ,  $\sin \theta_t = 0.33$ ,  $\cos \theta_t = 0.94$  et  $s = 0.16$ . Qui donnent  $\Gamma_{\perp} = -0.51 + 0.0144j$ , qui permet d'obtenir

$$\Gamma_1 = -0.47 + 0.25j$$

Il nous reste plus qu'à évaluer  $T_1$  le coefficient de transmission. Les valeurs trigonométriques des angles incidents et transmis sont facilement obtenables avec la même méthode que précédemment  $\cos \theta_i = \langle \frac{\overrightarrow{P_{r1}TX}}{\|\overrightarrow{P_{r1}TX}\|}, (0, 1) \rangle = 0.73$ ,  $\sin \theta_i = 0.68$ ,  $\sin \theta_t = 0.31$ ,  $\cos \theta_t = 0.95$  et  $s = 0.16$ . Par conséquent,  $\Gamma_{\perp} = -0.51 + 0.014j$  et pour finir

$$T_1 = \frac{(1 - \Gamma_{\perp}^2)e^{-\gamma_m s}}{1 - \Gamma_{\perp}^2 e^{-2\gamma_m s}e^{j\beta 2s \sin \theta_t \sin \theta_i}} = 0.63 + 0.089j$$

### 3.1.3 Champ et puissance

L'amplitude du champ se calcule, pour notre cas, via

$$\underline{E}_n = \Gamma_1 \Gamma_2 T_1 \sqrt{60 P_{TX} G_{TX}} \frac{e^{-j \frac{2\pi f}{c} d_n}}{d_n} = 4.4519 \cdot 10^{-4} - 2.1816 \cdot 10^{-5} j$$

Avec la distance  $d_n$  étant celle qui sépare RX de TX, c'est aussi la distance qui sépare RX de  $I_2$ , et vaut donc  $\|\vec{I_2 R X}\| = 116.04$ .

La puissance vaut donc

$$P_{RX} = \frac{60 \lambda^2}{8 \pi^2 R_a} P_{TX} G_{TX} \left| \Gamma_1 \Gamma_2 T_1 \frac{e^{-j \beta d_n}}{d_n} \right|^2 = 4.1145 \cdot 10^{-12} W$$

Ce qui donne, en dB,  $\langle P_{RX} \rangle = -83.85 \text{ dBm}$ .

## 3.2 Comparaison calculs et simulation

Nous pouvons comparer les résultats de notre simulateur avec les résultats calculés manuellement afin de valider notre implémentation. Un tableau comparatif [Table 3.1] présente ces données.

	Grandeur	Calculs	Simulation	Erreur
Direct	$ \underline{E} $ [V/m]	$4,031 \cdot 10^{-3}$	$4,0124 \cdot 10^{-3}$	0,40%
	$P_{RX}$ [W]	$3,33 \cdot 10^{-10}$	$3,32965 \cdot 10^{-10}$	0,01%
1 réflexion (A)	$ \underline{E} $ [V/m]	$7,0819 \cdot 10^{-4}$	$7,07611 \cdot 10^{-4}$	0,08%
	$P_{RX}$ [W]	$1,04 \cdot 10^{-11}$	$1,03557 \cdot 10^{-11}$	0,42%
1 réflexion (B)	$ \underline{E} $ [V/m]	$6,7821 \cdot 10^{-4}$	$6,78351 \cdot 10^{-4}$	0,02%
	$P_{RX}$ [W]	$9,53 \cdot 10^{-12}$	$9,51694 \cdot 10^{-12}$	0,14%
2 réflexions (A)	$ \underline{E} $ [V/m]	$4,4572 \cdot 10^{-4}$	$4,46271 \cdot 10^{-4}$	0,12%
	$P_{RX}$ [W]	$4,1145 \cdot 10^{-12}$	$4,11896 \cdot 10^{-12}$	0,11%

TABLE 3.1 – Comparaison valeurs calculs et simulation selon le rayon

On peut observer que notre simulateur se rapproche beaucoup des valeurs réelles calculées à la main, avec une erreur ne dépassant pas 0,5%. Ceci permet donc de valider l'implémentation de notre simulateur.

## 3.3 Affichage simulation des rayons

La Figure [3.1] présente le tracé des rayons simulés. Le récepteur est représenté comme un carré bleu, l'émetteur comme un rond blanc, les points de réflexions comme des points magenta, les murs comme des traits gris, et les rayons sont différenciés par leur couleur représentant leur nombre de réflexions :

- Vert : rayon direct (0 réflexion)
- Rouge : rayon à une réflexion
- Jaune : rayon à deux réflexions



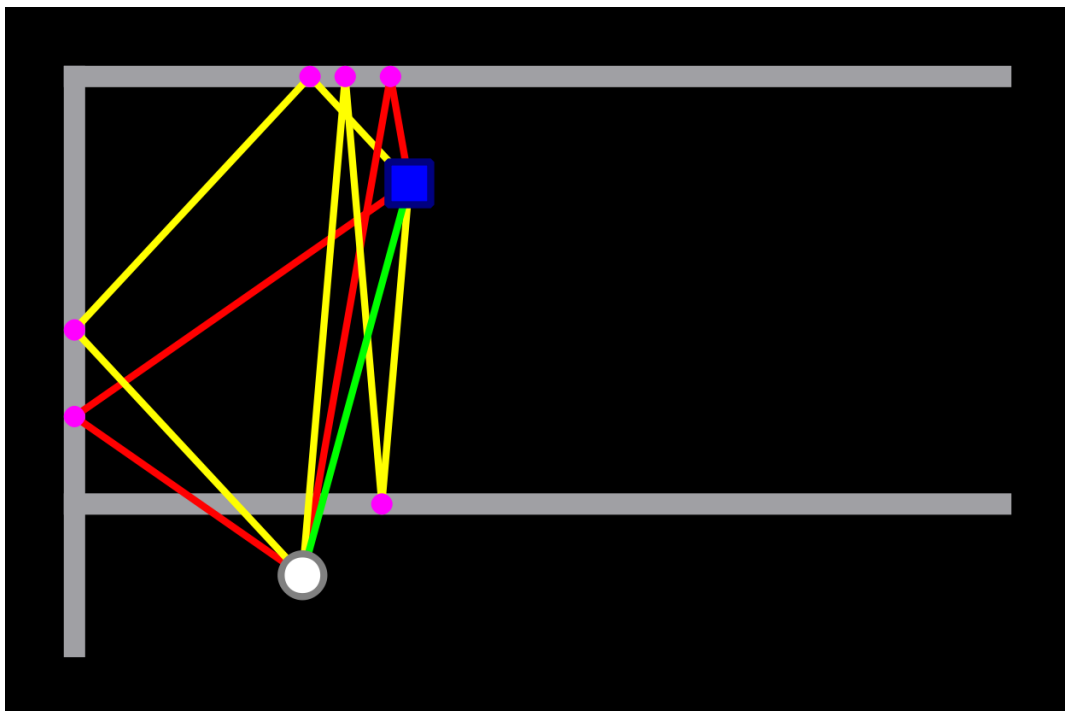


FIGURE 3.1 – Simulation Ray-Tracing de l'exercice 1, TP4

Comme le simulateur complet de l'appartement, il est possible d'afficher plus d'informations du récepteur, tel que ses coordonnées ou encore sa puissance reçue, lors du survol de la souris par-dessus.

# Chapitre 4

## Analyse performance

### 4.1 Résultats

Les résultats ont été réalisés avec la simulation à sa plus haute résolution (soit des cellules de  $0,0625\text{m} \times 0,0625\text{m}$ ). L'emplacement par défaut est à (9.4,7)m.

#### 4.1.1 Emplacement par défaut (salon)

Sans ascenseur

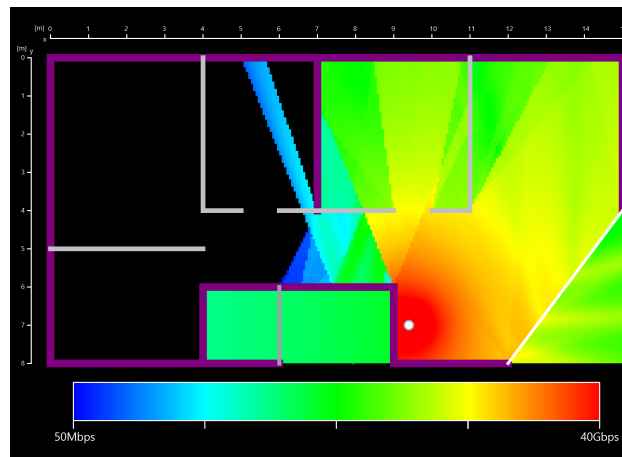


FIGURE 4.1 – Couverture débit binaire station de base salon, sans ascenseur

Avec ascenseur

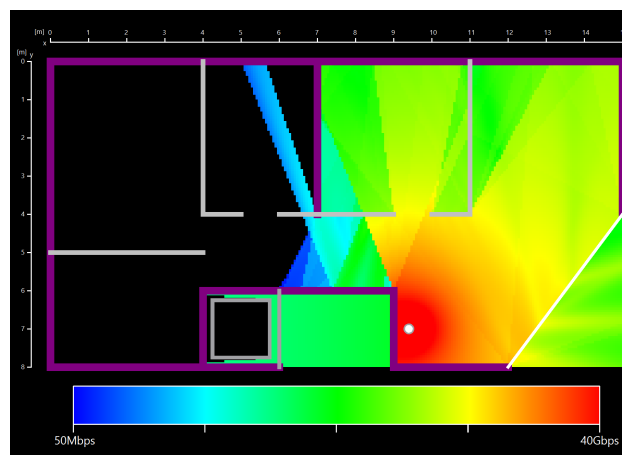


FIGURE 4.2 – Couverture débit binaire station de base salon, avec ascenseur

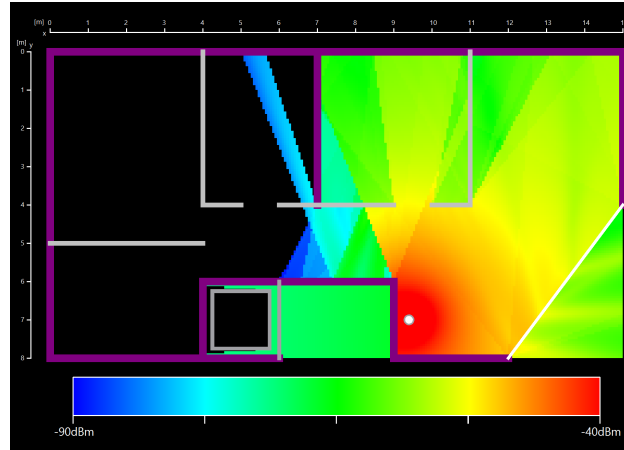


FIGURE 4.3 – Couverture puissance station de base salon, avec ascenseur

On observe qu'il n'y a pas de différence visuelle entre la couverture puissance et la couverture débit binaire car l'échelle est définie comme le logarithme du débit binaire, ou la puissance en dBm, donc l'amplitude de couleur est la même.

## 4.2 Suggestions placement station de base

Afin de trouver un emplacement optimal pour la station de base, il est intéressant de réaliser un algorithme trouvant cette position. Nous profitons de la vitesse d'exécution de notre simulation, en déterminant l'emplacement ayant la plus haute moyenne des puissances des cellules, via une méthode d'optimisation en *brute-forcing*, c'est-à-dire nous itérons à travers toutes nos positions de station de base, et gardons seulement la meilleure. Notre algorithme d'optimisation nous indique qu'un emplacement optimal est (6.5, 4.5)m, la résolution basse a été utilisée, soit des cellules de  $0,5\text{m} \times 0,5\text{m}$ .

Cet emplacement optimal **théorique** au milieu de l'appartement offre une large couverture, dû à son placement central et à sa plus grande distance à tous les murs en béton.

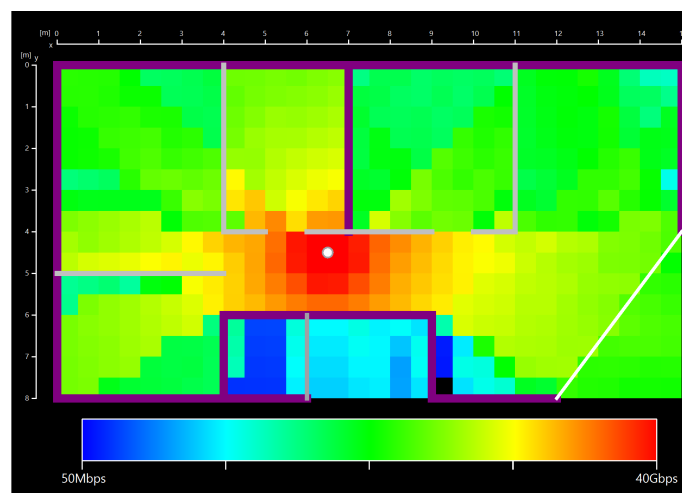


FIGURE 4.4 – Couverture débit binaire station de base optimale, sans ascenseur

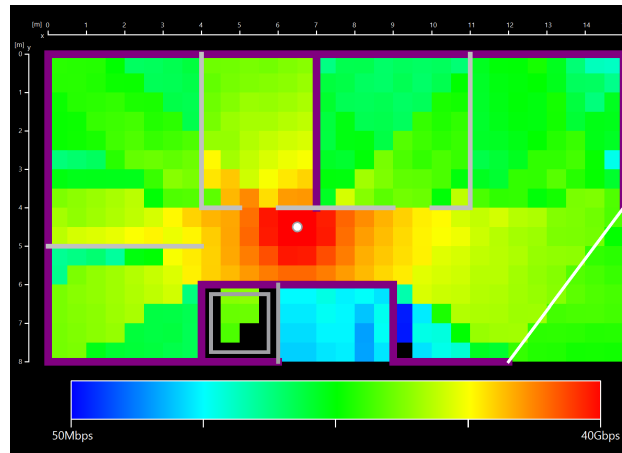


FIGURE 4.5 – Couverture débit binaire station de base optimale, avec ascenseur

Un emplacement au milieu d'une pièce est évidemment non favorable en pratique, car loin de prises de courant et réseau, et nécessite aussi sans doute de placer la station de base au plafond ce qui engendre un travail supplémentaire lors de l'installation et un aspect esthétique moindre. Nous privilégions alors un emplacement proche d'un mur, sans doute sur un meuble, par soucis pratique.

L'emplacement proche de celui du projet par défaut par exemple à (9.4, 6.4)m semble être un emplacement réaliste et efficace et donc meilleur à utiliser en **pratique**. La station de base se trouve dans le salon de l'appartement, un lieu où est souvent situé le raccordement internet, et là où sont majoritairement utilisés les appareils sans-fil lors de besoins élevés en débit binaire (téléchargements, vidéos, etc). De plus, la cuisine et la salle à manger sont bien couvertes (deux autres pièces qui sont plus enclines à une utilisation du réseau Wi-Fi par les habitants, contrairement aux chambres et salle de bain). Voir Figures [4.1] et [4.2] pour une couverture depuis un emplacement similaire.

### 4.3 Suggestion nombre de stations de base

Utilisons l'emplacement réaliste situé à (9.4, 6.4)m pour la première station de base, tel que détaillé au point précédent.

Pour optimiser davantage la couverture, il est proposé d'ajouter une deuxième antenne près de (2, 4.75)m. Cette disposition permettra de minimiser les zones de faible signal, en assurant une meilleure couverture dans les autres parties de la maison, notamment les chambres et les zones éloignées de la station de base principale. Tout en gardant les avantages pratiques réalistes que nous obtenions avec la position du premier émetteur. En envisageant l'utilisation d'un système mesh (c'est-à-dire plusieurs émetteurs pour un même réseau), nous pouvons améliorer la couverture et réduire l'effet des obstacles. Un système mesh permet en effet de distribuer plusieurs stations de base dans tout l'appartement, garantissant une meilleure couverture. Cela assure une distribution plus homogène du signal Wi-Fi, optimisant ainsi les performances du réseau pour tous les habitants sur l'ensemble de la surface.

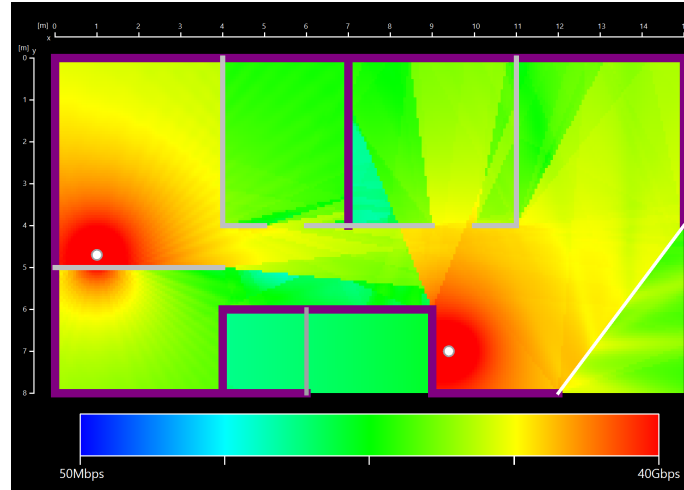


FIGURE 4.6 – Exemple de couverture débit binaire pour deux stations de base, sans ascenseur

Cependant, comme notre modèle ne prend pas en compte d'éventuelles interférences entre les différentes stations de base, il est donc **théoriquement** avantageux d'avoir le plus de station de base possible, ce qui n'est pas réaliste.

#### 4.4 Critique de la simulation

Tout d'abord, on peut observer qu'un débit binaire non-nul est présent à l'intérieur de l'ascenseur, juste à côté ainsi que dans la cage. Ce résultat ne devrait pas se produire à cause de la présence d'épais murs en béton ainsi que de la/des parois métalliques constituant l'ascenseur. Cette erreur a malheureusement une origine inconnue, il se peut qu'elle survienne à cause d'un **bug** des coins des murs, où des ondes passeraient. Bien des essais et des réécritures ont été tentées, mais sans succès. Essayer de résoudre ce problème fut une des choses qui prit le plus de temps durant la réalisation du projet, plus de détails sur les différents essais de résolution sont présents dans l'**Annexe [A]**.

Ensuite, cette simulation repose sur de nombreuses simplifications et approximations. En effet, l'appartement ne présente pas d'obstacle de type meubles, ne possède aucune autre fenêtre (en plus de la baie vitrée oblique) et les murs en béton sont normalement recouverts d'une couche de plâtre (affectant alors la réflexion différemment du béton).

De plus, la simulation considère une antenne parfaitement omnidirectionnelle dans le plan étudié.

Enfin, la simulation ne prend pas en compte la diffraction, et ignore les technologies maintenant très répandues dans les antennes Wi-Fi tel que le *beam-forming* ou encore le *MIMO*.

# Chapitre 5

## Optimisations code

L'utilisation du **C++** pour notre projet nous donne un grand avantage au niveau performance de notre programme, c'est en effet un langage qui, après compilation, est connu pour être très optimisé pour la rapidité grâce à son faible niveau d'abstraction et son absence de *garbage collector*<sup>1</sup>. Ceci nous a permis d'avoir un temps d'exécution déjà très faible sans avoir implémenté d'optimisation spécifique. Cet avantage couplé au manque de temps nous ont finalement conduit à ne pas mettre en place une des optimisations possibles.

Cependant, il reste intéressant de mentionner la discussion au sein du groupe faite en début de projet pour comparer les différentes optimisations, qui est résumée dans le tableau ci-dessous (Table [5.1]) :

	Optimisation du temps de calcul	Difficulté de mise en place
1. Parallélisation (CPU)	grande	moyenne
2. GPU	très grande	grande
3. Mise en cache	faible	faible
4. Abandon anticipé	incertaine	moyenne

TABLE 5.1 – Comparaison méthodes d'optimisations

Explications de chaque méthode d'optimisation Table [5.1] :

1. Parallélisation (CPU) : diviser le calcul entre plusieurs threads pour traiter les cellules simultanément.
2. GPU : utiliser le processeur graphique pour une parallélisation massive, par exemple avec l'API Nvidia CUDA.
3. Mise en cache : stocker les valeurs calculées fréquemment, comme les  $\sin(\theta_i)$  et les coefficients de réflexion  $\Gamma_m$  pour un même angle d'incidence sur un même matériau, pour éviter de les recalculer.
4. Abandon anticipé : arrêter le calcul des rayons lorsque la puissance devient trop faible pour contribuer significativement à la couverture.

---

1. Le *garbage collector* est un mécanisme de gestion automatique de la mémoire qui récupère et libère les espaces mémoire non utilisés pour éviter les fuites de mémoire et optimiser l'utilisation des ressources. Un *garbage collector* est généralement assez lourd en performance, comparé à une gestion manuelle de la mémoire.

# Conclusion

En conclusion, ce projet de ray-tracing pour le Wi-Fi IEEE 802.11ay nous a permis de développer un simulateur capable d'analyser la couverture réseau dans un environnement résidentiel prédéfini. Grâce à l'utilisation de la méthode des images et à l'utilisation du langage C++, le simulateur offre des résultats précis avec une erreur de moins de 0,5% par rapport aux calculs manuels, et ce en un temps très réduit. La meilleure position pour la ou les stations de base, du point de vue pratique et théorique, a été identifiée, garantissant une couverture optimale de l'appartement. Bien que certaines limitations, comme l'absence de diffraction et les anomalies près de l'ascenseur, subsistent, le projet atteint ses objectifs principaux et propose une base solide pour des améliorations futures.

# Annexes

## A Discussion du débit binaire près de l'ascenseur

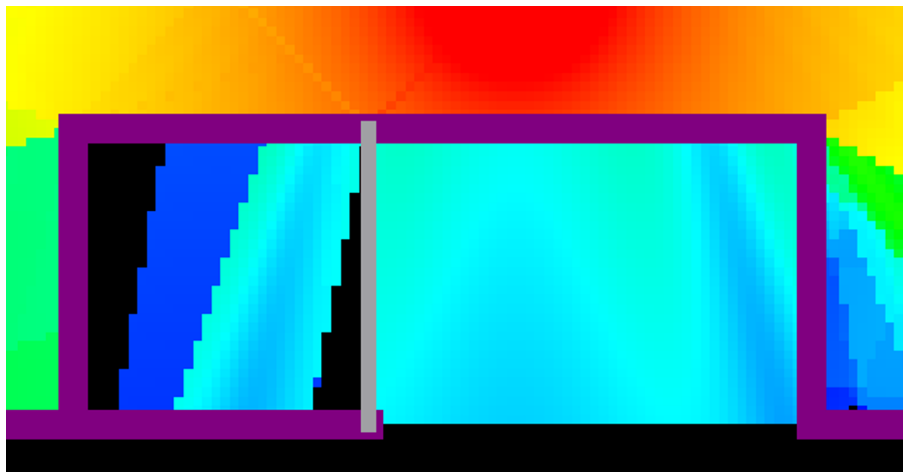
Théoriquement, on devrait observer un blocage du signal dans cette zone en raison des matériaux utilisés. Cependant, nous avons rencontré un problème inattendu de valeur de puissance trop élevée (environ  $-68\text{dBm}$  pour une station de base en  $(9.4, 7)m$  avec  $20\text{dBm}$  de puissance d'émission).

Nous avons tenté de le résoudre de plusieurs manières. Nous avons déplacé les murs pour vérifier s'il y avait un problème au niveau des coins. Nous avons vérifié avec notre fonction *Rays to Single Cell*, les rayons tracés à cet endroit. Nous avons comparé et cherché l'erreur avec des camarades, à plusieurs reprises et pendant longtemps, sans succès. Plusieurs matériaux ont été testés, et nous avons vérifié les propriétés physiques des murs à de nombreuses reprises.

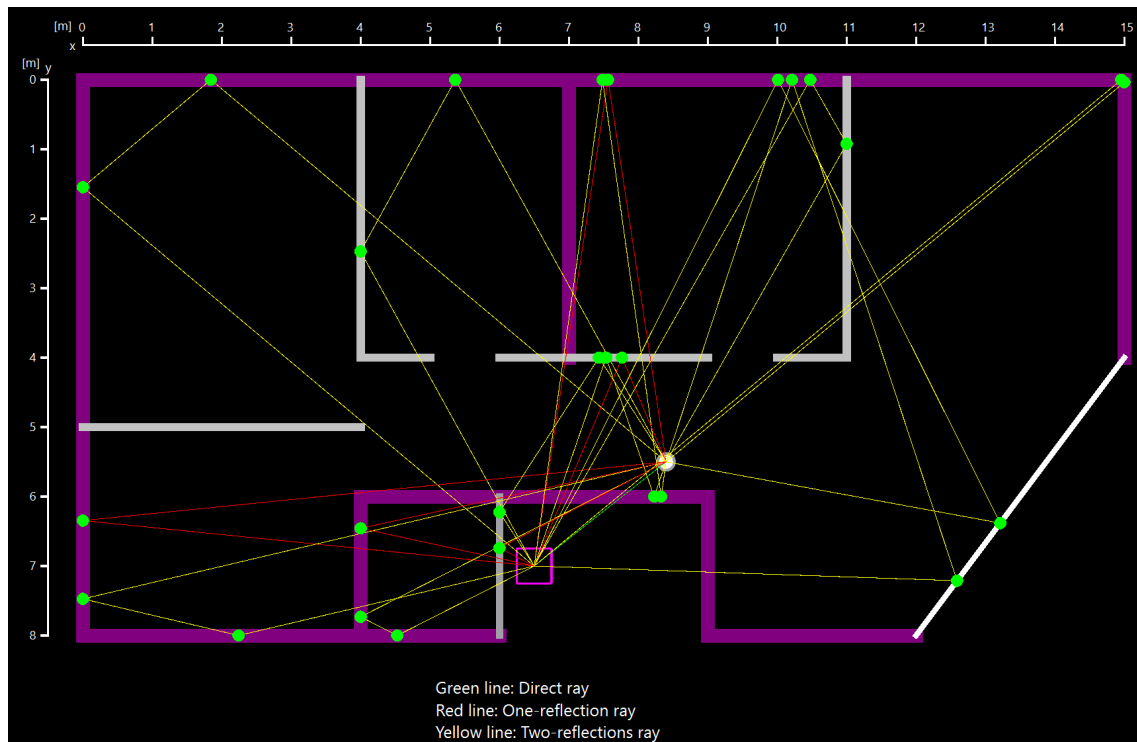
En outre, nous avons revérifié toutes les fonctions de calcul des coefficients et réécrit plusieurs parties du code plusieurs fois dans l'espoir de trouver la faille. Enfin, différentes positions de la station de base et plusieurs stations ont été testées.

Malgré tous ces efforts, le problème persiste et reste un point d'investigation pour des travaux futurs.

Ce qui reste étrange tout de même, est que c'est la seule zone dans laquelle une si grande erreur de débit binaire persiste.







## B Code

Cette partie de l'annexe comprend la quasi-totalité du code du projet.

### B.1 main.cpp

Lance simplement l'interface utilisateur de l'application.

---

```
1  #include "mainwindow.h"
2
3  #include <QApplication>
4  // #include "algorithme.h"
5
6  int main(int argc, char *argv[])
7  {
8      //Q_INIT_RESOURCE(application);
9
10     QApplication app(argc, argv);
11     QApplication::setOrganizationName("Lucas Placentino and Salman Houdaibi");
12     QApplication::setApplicationName("802.11ay Raytracing Simulator");
13     QApplication::setApplicationVersion(QT_VERSION_STR);
14
15     MainWindow mainWin;
16     mainWin.show();
17
18     //runAlgo();
19
20     return app.exec();
21 }
22
```

---

## B.2 simulation.cpp

Ce fichier contient toute l'implémentation de la logique de la simulation.  
Le *header file* **.h** définissant la classe **Simulation** se trouve dans le [Github](#) du projet.

---

```
1  #include "simulation.h"
2
3  #include <QDir>
4  #include <QtMath>
5
6  #include "parameters.h"
7
8
9  Simulation::Simulation(bool show) {
10     // class constructor
11     this->show = show;
12
13     createWalls();
14 }
15
16 void Simulation::createWalls()
17 {
18     //qDebug("Creating walls...");
19
20     // Delete old obstacles vector objects (avoid memory leak)
21     if(!this->obstacles.empty()) {
22         // The vector is not empty
23         for(auto ptr : this->obstacles) {
24             delete ptr;
25         }
26         this->obstacles.clear();
27     }
28
29     // Add obstacles:
30     QList<Obstacle*> concrete_walls;
31     ObstacleType concrete = ConcreteWall;
32     qreal thickness = 0.3; // 30cm
33     concrete_walls.append(new Obstacle(QVector2D(0,0), QVector2D(15,0), concrete,
34     ↪ thickness));
35     concrete_walls.append(new Obstacle(QVector2D(15,0), QVector2D(15,4), concrete,
36     ↪ thickness));
37     concrete_walls.append(new Obstacle(QVector2D(7,0), QVector2D(7,4), concrete,
38     ↪ thickness));
39     concrete_walls.append(new Obstacle(QVector2D(0,0), QVector2D(0,8), concrete,
40     ↪ thickness));
41     concrete_walls.append(new Obstacle(QVector2D(0,8), QVector2D(6,8), concrete,
42     ↪ thickness));
43     concrete_walls.append(new Obstacle(QVector2D(4,6), QVector2D(9,6), concrete,
44     ↪ thickness));
45     concrete_walls.append(new Obstacle(QVector2D(4,6), QVector2D(4,8), concrete,
46     ↪ thickness));
```

```

40     concrete_walls.append(new Obstacle(QVector2D(9,6), QVector2D(9,8), concrete,
    ↪     thickness));
41     concrete_walls.append(new Obstacle(QVector2D(9,8), QVector2D(12,8), concrete,
    ↪     thickness));
42
43     QList<Obstacle*> drywall_walls;
44     ObstacleType drywall = DryWall;
45     thickness=0.1; // 10cm
46     drywall_walls.append(new Obstacle(QVector2D(4,0), QVector2D(4,4), drywall,
    ↪     thickness));
47     drywall_walls.append(new Obstacle(QVector2D(4,4), QVector2D(5,4), drywall,
    ↪     thickness));
48     drywall_walls.append(new Obstacle(QVector2D(6,4), QVector2D(9,4), drywall,
    ↪     thickness));
49     drywall_walls.append(new Obstacle(QVector2D(10,4), QVector2D(11,4), drywall,
    ↪     thickness));
50     drywall_walls.append(new Obstacle(QVector2D(11,0), QVector2D(11,4), drywall,
    ↪     thickness));
51     drywall_walls.append(new Obstacle(QVector2D(0,5), QVector2D(4,5), drywall,
    ↪     thickness));
52
53     thickness=0.05; // 5cm
54     Obstacle* glass_window = new Obstacle(QVector2D(12,8),QVector2D(15,4), Window,
    ↪     thickness); // this one is diagonal
55
56     thickness=0.05; // 5cm
57     Obstacle* metal_lift_door = new Obstacle(QVector2D(6,6),QVector2D(6,8), MetalWall,
    ↪     thickness);
58
59     // !\ The lift is only added to the obstacles if enabled
60     QList<Obstacle*> all_obstacles;
61     all_obstacles.append(concrete_walls);
62     all_obstacles.append(drywall_walls);
63     all_obstacles.append(glass_window);
64     all_obstacles.append(metal_lift_door); // last one is the metal lift door
65
66     this->obstacles = all_obstacles;
67     qDebug() << "Walls created";
68 }
69
70 void Simulation::run(QProgressBar* progress_bar)
71 {
72     // TODO: compute everything
73     this->timer.start();
74     qDebug() << "Simulation::run() - single cell simulation: " <<
    ↪     (this->showRaySingleCell); // still TODO: single cell simulation
75
76     qDebug() << "P_TX:" << P_TX << "W," << P_TX_dBm << "dBm";
77     qDebug() << "G_TX:" << G_TX;
78     qDebug() << "beta:" << beta_0;
79     qDebug() << "lambda:" << lambda << "m";

```

```

80     qDebug() << "frequency:" << freq << "Hz";
81     qDebug() << "omega:" << omega << "rad/s";
82
83     //this->cells_matrix.clear();
84     for (QList<Receiver*> cells_line : this->cells) {
85         qDeleteAll(cells_line);
86     }
87     this->cells.clear();
88     qDeleteAll(this->obstacles);
89     this->obstacles.clear();
90
91     createWalls();
92     if (this->lift_is_on_floor) { // Adds the lift metal walls if set as present
93         qDebug() << "Lift is on this floor.";
94
95         QList<Obstacle*> lift_walls;
96         qreal thickness = 0.05; // 5cm
97         lift_walls.append(new Obstacle(QVector2D(4.25,6.25),QVector2D(5.75,6.25),
98             ↳ MetalWall, thickness));
99         lift_walls.append(new Obstacle(QVector2D(4.25,6.25),QVector2D(4.25,7.75),
100             ↳ MetalWall, thickness));
101         lift_walls.append(new Obstacle(QVector2D(5.75,6.25),QVector2D(5.75,7.75),
102             ↳ MetalWall, thickness));
103         lift_walls.append(new Obstacle(QVector2D(4.25,7.75),QVector2D(5.75,7.75),
104             ↳ MetalWall, thickness));
105
106         this->obstacles.append(lift_walls);
107     }
108
109     if (!this->showRaySingleCell) {
110         createCellsMatrix();
111     } else {
112         // single cell simulation
113         Receiver* rx = new Receiver(this->singleCellX,this->singleCellY,0.5, true);
114         QPen singleCellPen = QPen(Qt::magenta);
115         singleCellPen.setWidthF(10*0.03);
116         rx->graphics->setPen(singleCellPen);
117         this->cells = {{rx}};
118     }
119
120     //Transmitter* base_station = this->baseStations[0]; // TODO: feature : multiple
121     ↳ transmitters?
122
123     //if (this->cells_matrix.isEmpty()) {
124     if (this->cells.isEmpty()) {
125         qWarning("no cells provided (simulation.cells matrix is empty)");
126         throw std::exception();
127     }
128
129     for (Transmitter* tx : this->baseStations) {
130         int i=0;

```

```

126     for (QList<Receiver*> cells_line : this->cells){
127         // loops over each line
128         for (Receiver* cell : cells_line) {
129             computeDirect(cell, *tx);
130             computeReflections(cell, *tx);
131             progress_bar->setValue(i/(cells_line.length()*this->cells.length()));
132             i++;
133         }
134     }
135 }
136 qDebug() << this->cells.length()*this->cells[0].length() << "cells,"; // << i <<
    ↪ "computed";
137
138 //end of simulation
139 this->simulation_time = this->timer.elapsed();
140 qDebug() << "Simulation time:" << this->simulation_time << "ms";
141
142 if (this->show) {
143     showView();
144 }
145
146 }
147
148 void Simulation::computeReflections(Receiver* _RX, const QVector2D& _TX)
149 {
150     // Makes the whole reflections computation, summary:
151     // For each wall, check if TX (or its image, for the 2nd reflection) and RX are on the
    ↪ same
152     // side of the wall, if so computes TX's (or its image's) image with this wall, then
    ↪ computes
153     // the reflection point which is the intersection of the line between the image and RX
    ↪ and the
154     // wall. Creates the segments from TX to each reflection point to finally RX and
    ↪ creates a new
155     // Ray object made of these segments.
156
157     // 1st reflection :
158     //for (Wall* wall: wall_list) { // could use this instead
159     for (int i=0; i<this->obstacles.length(); i++) {
160         Obstacle* wall = this->obstacles[i];
161
162         // check if same side of wall, if false, then no reflection only transmission
163         if (checkSameSideOfWall(wall->normal,_TX,_RX)) {
164             //same side of this wall, can make a reflection
165             //qDebug() << "Same side of wall TX and RX:" << wall << _TX.toPointF() <<
    ↪ _RX->toPointF() ;
166             Ray* ray_1_reflection = new Ray(_TX.toPointF(), _RX->toPointF());
167
168             QVector2D _imageTX = computeImage(_TX, wall);
169             //qDebug() << "_image:" << _imageTX.x() << _imageTX.y();
170

```

```

171     QVector2D _P_r = calculateReflectionPoint(_imageTX,*_RX,wall);
172
173     // CHECK IF REFLECTION IS ON THE WALL AND NOT ITS EXTENSION:
174     RaySegment* test_segment = new
        ↪ RaySegment(_imageTX.x(),_imageTX.y(),_RX->x(),_RX->y());
175     if (!checkRaySegmentIntersectsWall(wall, test_segment)) {
176         // RAY DOES NOT TRULY INTERSECT THE WALL (only the wall extension) ignore
        ↪ this one-reflection ray at this wall
177         //QDebug() << "ignore";
178         delete ray_1_reflection;
179         delete test_segment;
180         ////continue; // break out of this forloop instance for this wall
181         goto second_reflection; // don't make a 1 reflection ray with this wall,
        ↪ proceed to two-reflections rays
182     }
183     delete test_segment;
184
185     //QDebug() << "P_r" << _P_r;
186
187     // create ray segments between points
188     QList<RaySegment*> ray_segments;
189     ray_segments.append(new RaySegment(_TX.x(),_TX.y(),_P_r.x(),_P_r.y())); //
        ↪ first segment
190     ray_segments.append(new RaySegment(_P_r.x(),_P_r.y(),_RX->x(),_RX->y())); //
        ↪ last segment
191
192     ray_1_reflection->segments = ray_segments;
193     addReflection(ray_1_reflection,_imageTX,*_RX,wall);
194     checkTransmissions(ray_1_reflection,{wall});
195
196     if (this->showRaySingleCell) {
197         this->singleCellSimReflectionPoints.append(_P_r);
198     }
199
200     //QDebug() << "ray_1_refl distance:" << QVector2D(*_RX - _imageTX).length();
201     ray_1_reflection->distance = QVector2D(*_RX-_imageTX).length();
202     //QDebug() << "Ray's (1refl) total coeffs:" <<
        ↪ ray_1_reflection->getTotalCoeffs();
203     _RX->all_rays.append(ray_1_reflection);
204 }
205
206 second_reflection:
207 QVector2D _imageTX = computeImage(_TX, wall);
208 //QDebug() << "_image:" << _imageTX.x() << _imageTX.y();
209 // 2nd reflection
210 for (Obstacle* wall_2 : this->obstacles) {
211     // check that the second wall is not the same as the first wall and that
        ↪ imageTX and RX are at the same side of this second wall
212     if (wall_2 != wall && checkSameSideOfWall(wall_2->normal,_imageTX,*_RX)) {

```

```

213 //qDebug() << "Same side of wall imageTX and RX --- wall_2:" <<
    ↳ wall_2->line.p1() << wall_2->line.p2() << ", imageTX:" <<
    ↳ _imageTX.toPointF() << ", RX:" << _RX->toPointF() ;
214 Ray* ray_2_reflection = new Ray(_TX.toPointF(),_RX->toPointF());
215
216 QVector2D _image_imageTX = computeImage(_imageTX,wall_2);
217 //qDebug() << "_image_image:" << _image_imageTX.x() <<
    ↳ _image_imageTX.y();
218
219 QVector2D _P_r_2_last =
    ↳ calculateReflectionPoint(_image_imageTX,*_RX,wall_2);
220 QVector2D _P_r_2_first =
    ↳ calculateReflectionPoint(_imageTX,_P_r_2_last,wall);
221 if (_P_r_2_last.x()==_P_r_2_first.x() &&
    ↳ _P_r_2_last.y()==_P_r_2_first.y()) {
222     //qDebug() << "-----> P_r_2_last = P_r_2_first !!!";
223 }
224
225 RaySegment* test_segment_1 = new
    ↳ RaySegment(_image_imageTX.x(),_image_imageTX.y(),_RX->x(),_RX->y());
226 RaySegment* test_segment_2 = new
    ↳ RaySegment(_imageTX.x(),_imageTX.y(),_P_r_2_last.x(),_P_r_2_last.y());
227 if (!checkRaySegmentIntersectsWall(wall_2, test_segment_1) ||
    ↳ !checkRaySegmentIntersectsWall(wall,test_segment_2)) {
228     //qDebug() << "ignore";
229     // RAY DOES NOT TRULY INTERSECT THE WALL (only the wall extension)
    ↳ ignore this two-reflections ray at this wall
230     delete ray_2_reflection;
231     delete test_segment_1;
232     delete test_segment_2;
233     continue; // break out of this forloop instance for this wall
234 }
235 delete test_segment_1;
236 delete test_segment_2;
237
238 //qDebug() << "P_r_2_first" << _P_r_2_first;
239 //qDebug() << "P_r_2_last" << _P_r_2_last;
240
241 QList<RaySegment*> ray_segments_2;
242 ray_segments_2.append(new
    ↳ RaySegment(_TX.x(),_TX.y(),_P_r_2_first.x(),_P_r_2_first.y()));
243 ray_segments_2.append(new
    ↳ RaySegment(_P_r_2_first.x(),_P_r_2_first.y(),_P_r_2_last.x(),_P_r_2_last.y()));
244 ray_segments_2.append(new
    ↳ RaySegment(_P_r_2_last.x(),_P_r_2_last.y(),_RX->x(),_RX->y()));
245
246 ray_2_reflection->segments = ray_segments_2;
247 addReflection(ray_2_reflection,_imageTX,_P_r_2_last,wall);
248 addReflection(ray_2_reflection,_image_imageTX,*_RX,wall_2);
249 checkTransmissions(ray_2_reflection,{wall,wall_2});
250

```



```

251         if (this->showRaySingleCell) {
252             this->singleCellSimReflectionPoints.append(_P_r_2_first);
253             this->singleCellSimReflectionPoints.append(_P_r_2_last);
254         }
255
256         //qDebug() << "ray_2_refl distance:" << QVector2D(*_RX -
257             ↪ _image_imageTX).length();
258         ray_2_reflection->distance = QVector2D(*_RX-_image_imageTX).length();
259         //qDebug() << "Ray's (2refl) total coeffs:" <<
260             ↪ ray_2_reflection->getTotalCoeffs();
261         _RX->all_rays.append(ray_2_reflection);
262     }
263 }
264
265 // compute the image position
266 QVector2D Simulation::computeImage(const QVector2D& _point, Obstacle* wall) {
267     // returns the coordinates of _point's image with wall
268     QVector2D new_origin = QVector2D(wall->line.p1()); // set origin to point1 of wall
269     //qDebug() << "new coords" << wall->line.p1();
270     QVector2D _normal = wall->normal; // normal to the wall (is normalized so it is
271             ↪ relative to any origin)
272     //qDebug() << "normal" << wall->normal;
273     QVector2D new_point_coords = _point - new_origin; // initial point in new coordinates
274             ↪ relative to point1 of wall
275     double _dotProduct = QVector2D::dotProduct(new_point_coords, _normal);
276     QVector2D _image_new_coords = new_point_coords - 2 * _dotProduct * _normal; // image
277             ↪ point in new coordinates relative to point1 of wall
278     QVector2D _image = new_origin + _image_new_coords; // image point in absolute
279             ↪ coordinates
280     //qDebug() << "image:" << _image.x() << _image.y();
281
282     return _image;
283 }
284
285 // compute the reflection point on the wall
286 QVector2D Simulation::calculateReflectionPoint(const QVector2D& _start, const QVector2D&
287     ↪ _end, Obstacle* wall) {
288     // returns the intersection bewteen the line from _start to _end and the wall
289     QVector2D d = _end-_start;
290     //QVector2D x0(0,0); // TODO: always this ?
291     QVector2D x0 = QVector2D(wall->line.p1()); // TODO: FIXME: correct ?
292     qreal t = (((d.y()*(_start.x()-x0.x()))-(d.x()*(_start.y()-x0.y())))) /
293             ↪ (wall->unitary.x()*d.y()-wall->unitary.y()*d.x());
294     QVector2D P_r = x0 + t * wall->unitary;
295     return P_r;
296 }
297
298 void Simulation::addReflection(Ray* _ray, const QVector2D& _p1, const QVector2D& _p2,
299     ↪ Obstacle* wall){

```

```

293 // computes the final Gamma coeff for the ray_segment's reflection with this wall, and
    ↪ adds it to this ray's coeffs list
294 QVector2D _d = _p2-_p1;
295 qreal _cos_theta_i = abs(QVector2D::dotProduct(_d.normalized(),wall->normal));
296 qreal _sin_theta_i = sqrt(1.0 - pow(_cos_theta_i,2));
297 qreal _sin_theta_t = _sin_theta_i / sqrt(wall->properties.relative_permittivity);
298 qreal _cos_theta_t = sqrt(1.0 - pow(_sin_theta_t,2));
299 complex<qreal> Gamma_coeff =
    ↪ computeReflectionCoeff(_cos_theta_i,_sin_theta_i,_cos_theta_t,_sin_theta_t, wall);
300 //qDebug() << "addReflection, Gamma_coeff:" << Gamma_coeff;
301 if (Gamma_coeff.real() != Gamma_coeff.real() || Gamma_coeff.imag() !=
    ↪ Gamma_coeff.imag()) {
302     qDebug() << "Gamma_coeff = NaN";
303     qDebug() << "_d" << _d;
304     qDebug() << "_cos_theta_i" << _cos_theta_i;
305     qDebug() << "_sin_theta_i" << _sin_theta_i;
306     qDebug() << "_sin_theta_t" << _sin_theta_t;
307     qDebug() << "_cos_theta_t" << _cos_theta_t;
308 }
309 _ray->addCoeff(Gamma_coeff);
310 }
311
312 complex<qreal> Simulation::makeTransmission(RaySegment* ray_segment, Obstacle* wall) {
313 // computes the final T coeff for the ray_segment's transmission with this wall, and
    ↪ adds it to this ray's coeffs list
314 QVector2D _d = QVector2D(ray_segment->p1())-QVector2D(ray_segment->p2());
315 qreal _cos_theta_i = abs(QVector2D::dotProduct(_d.normalized(),wall->normal));
316 qreal _sin_theta_i = sqrt(1.0 - pow(_cos_theta_i,2));
317 qreal _sin_theta_t = _sin_theta_i / sqrt(wall->properties.relative_permittivity);
318 qreal _cos_theta_t = sqrt(1.0 - pow(_sin_theta_t,2));
319
320 complex<qreal> T_coeff =
    ↪ computeTransmissionCoeff(_cos_theta_i,_sin_theta_i,_cos_theta_t,_sin_theta_t,wall);
321 if (T_coeff.real() != T_coeff.real() || T_coeff.imag() != T_coeff.imag()) {
322     qDebug() << "Gamma_coeff = NaN";
323     qDebug() << "_d" << _d;
324     qDebug() << "_cos_theta_i" << _cos_theta_i;
325     qDebug() << "_sin_theta_i" << _sin_theta_i;
326     qDebug() << "_sin_theta_t" << _sin_theta_t;
327     qDebug() << "_cos_theta_t" << _cos_theta_t;
328 }
329 return T_coeff;
330 }
331 void Simulation::checkTransmissions(Ray* _ray, QList<Obstacle*> _reflection_walls) {
332 // checks for every segment in this ray if they intersect a wall (which isn't a wall
    ↪ already used for a reflection by this ray)
333 // if so: adds the Transmission coefficient to this ray's coeffs list
334 for (RaySegment* ray_segment : _ray->segments) {
335     for (Obstacle* wall : this->obstacles) {
336         //qDebug() << "pwall" << &wall;
337         if (!_reflection_walls.contains(wall)) { // is NOT reflection wall

```

```

338         if (checkRaySegmentIntersectsWall(wall, ray_segment, nullptr)) {
339             complex<qreal> T_coeff = makeTransmission(ray_segment, wall);
340             //qDebug() << "checkTransmission, T_coeff:" << T_coeff;
341             _ray->addCoeff(T_coeff);
342         }
343     }
344 }
345 }
346 }
347
348 void Simulation::computeDirect(Receiver* _RX, const QVector2D& _TX)
349 {
350     // Computes the direct ray: checks all walls between RX and TX and adds
351     // their computed transmission coefficients to the direct ray list of coeffs
352     Ray* direct_ray = new Ray(_TX.toPointF(), _RX->toPointF());
353     RaySegment* _direct_line = new RaySegment(_RX->x(), _RX->y(), _TX.x(), _TX.y());
354     for (Obstacle* wall : this->obstacles) {
355         QPointF* intersection_point = nullptr; // not used
356         if (checkRaySegmentIntersectsWall(wall, _direct_line, intersection_point)) {
357             // transmission through this wall, compute the transmission coeff
358             complex<qreal> T_coeff = makeTransmission(_direct_line, wall);
359             direct_ray->addCoeff(T_coeff);
360         }
361         //else {
362         //    continue;
363         //}
364     }
365     //qDebug() << "ray_direct distance:" << QVector2D(*_RX - _TX).length();
366     direct_ray->distance = QVector2D(*_RX - _TX).length();
367     //qDebug() << "Ray's (direct) total coeffs:" << direct_ray->getTotalCoeffs();
368     direct_ray->segments = {_direct_line};
369     _RX->all_rays.append(direct_ray);
370 }
371
372 complex<qreal> Simulation::computePerpendicularGamma(qreal _cos_theta_i, qreal
↪ _cos_theta_t, Obstacle* wall)
373 {
374     // returns Gamma_perpendicular
375     complex<qreal> left = wall->properties.Z_m * _cos_theta_i;
376     //qDebug() << "left perpGamma:" << left.real() << "+j" << left.imag();
377     complex<qreal> right = Z_0 * _cos_theta_t;
378     //qDebug() << "right perpGamma:" << right.real() << "+j" << right.imag();
379     //complex<qreal> Gamma_perp =
↪ (wall->properties.Z_m*_cos_theta_i-Z_0*_cos_theta_t)/(wall->properties.Z_m*_cos_theta_i+Z_0*_cos_theta_t);
380     complex<qreal> Gamma_perp = (left - right) / (left + right);
381
382     //qDebug() << "Gamma_perp=" << QString::number(Gamma_perp.real()) << "+j" <<
↪ QString::number(Gamma_perp.imag());
383     return Gamma_perp;
384 }
385

```

```

386 complex<qreal> Simulation::computeReflectionCoeff(qreal _cos_theta_i, qreal _sin_theta_i,
↪ qreal _cos_theta_t, qreal _sin_theta_t, Obstacle* wall)
387 {
388     // returns the reflection coefficient Gamma_m
389     qreal s = wall->thickness/_cos_theta_t;
390     complex<qreal> Gamma_perpendicular = computePerpendicularGamma(_cos_theta_i,
↪ _cos_theta_t, wall);
391     complex<qreal> reflection_term = exp(-2.0 * wall->properties.gamma_m * s) * exp(j *
↪ 2.0 * beta_0 * s * _sin_theta_t * _sin_theta_i);
392     //qDebug() << "reflection_term:" << QString::number(reflection_term.real()) << "+ j"
↪ << QString::number(reflection_term.imag());
393     complex<qreal> Gamma_m = Gamma_perpendicular - (1.0 - pow((Gamma_perpendicular), 2)) *
↪ (Gamma_perpendicular * reflection_term) / (1.0 - pow((Gamma_perpendicular), 2) *
↪ reflection_term);
394     //qDebug() << "Gamma_m:" << QString::number(Gamma_m.real()) << "+ j" <<
↪ QString::number(Gamma_m.imag());
395
396     return Gamma_m;
397 }
398
399 complex<qreal> Simulation::computeTransmissionCoeff(qreal _cos_theta_i, qreal
↪ _sin_theta_i, qreal _cos_theta_t, qreal _sin_theta_t, Obstacle* wall)
400 {
401     // returns the transmission coefficient T_m
402     //qDebug() << "_cos_theta_i" << _cos_theta_i;
403     //qDebug() << "_sin_theta_i" << _sin_theta_i;
404     //qDebug() << "_sin_theta_t" << _sin_theta_t;
405     //qDebug() << "_cos_theta_t" << _cos_theta_t;
406     qreal s = wall->thickness/_cos_theta_t;
407     //qDebug() << "s" << s;
408     complex<qreal> perpGamma = computePerpendicularGamma(_cos_theta_i, _cos_theta_t,
↪ wall);
409     //qDebug() << "perpGamma" << perpGamma.real() << "+j" << perpGamma.imag();
410     complex<qreal> T_m =
↪ ((1.0-pow(perpGamma,2))*exp(-(wall->properties.gamma_m)*s))/(1.0-(pow(perpGamma,2)*exp(-2.0*(wall->p
411     //qDebug() << "TransmissionCoeff=" << QString::number(T_m.real()) << "+j" <<
↪ QString::number(T_m.imag());
412     return T_m;
413 }
414
415 bool Simulation::checkSameSideOfWall(const QVector2D& _normal, const QVector2D& _TX, const
↪ QVector2D& _RX) {
416     // returns true if _TX and _RX are on the same side of the wall (using the wall's
↪ normal vector)
417     // must be same sign to be true:
418     bool res = (QVector2D::dotProduct(_normal, _RX)>0 ==
↪ QVector2D::dotProduct(_normal, _TX)>0);
419     return res;
420 }
421

```

```

422 bool Simulation::checkRaySegmentIntersectsWall(const Obstacle* wall, RaySegment*
↳ ray_segment, QPointF* intersection_point) {
423     // returns true if ray_segment intersects wall
424     // the intersection_point pointer's value is set with the intersection point
↳ coordinates if they intersect
425     int _intersection_type = ray_segment->intersects(wall->line, intersection_point); //
↳ also writes to intersection pointer the QPointF
426     bool intersects_wall = _intersection_type==1 ? true: false; //0: no intersection
↳ (parallel), 1: intersects directly the line segment, 2: intersects the infinite
↳ extension of the line
427     return intersects_wall;
428 }
429
430 void Simulation::showView()
431 {
432     qDebug() << "Creating graphics view...";
433     QGraphicsScene* sim_scene = createGraphicsScene();
434     this->scene = sim_scene;
435     this->view = new QGraphicsView(sim_scene); // create user's view showing the graphics
↳ scene
436
437     this->view->setAttribute(Qt::WA_AlwaysShowToolTips); //? maybe necessary ?
438
439     this->view->setFixedSize(990, 720);
440     this->view->scale(6, 6);
441     qDebug() << "Showing graphics view";
442     //QIcon _icon = QIcon(QDir::currentPath()+"/icon.png");
443     //view->setWindowIcon(QIcon("./assets/icon.png"));
444     view->setWindowIcon(QIcon(":/assets/icon.png"));
445     this->view->show(); // shows the graphics scene to the user
446 }
447
448 void Simulation::createCellsMatrix()
449 {
450     int max_x_count = ceil(max_x/this->resolution); // -1 ?
451     //qDebug() << "Max count of cells X:" << max_x_count;
452     int max_y_count = ceil(max_y/this->resolution); // -1 ?
453     //qDebug() << "Max count of cells Y:" << max_y_count;
454
455     qInfo() << "Creating cells matrix" << max_x_count << "x" << max_y_count << "...";
456     //qDebug() << "cells matrix initial size:" << this->cells.size();
457     for (int x_count=0; x_count < max_x_count; x_count++) {
458         //qDebug() << "Creating new line of cells_matrix...";
459         qreal x = this->resolution/2+(this->resolution*x_count);
460         QList<Receiver*> temp_list;
461         for (int y_count=0; y_count < max_y_count; y_count++) {
462             qreal y = this->resolution/2+(this->resolution*y_count);
463             temp_list.append(new Receiver(x,y,this->resolution, this->show_cell_outline));
464             //qDebug() << "cells_matrix line"<< x_count << "size:" << temp_list.size();
465         }
466         this->cells.append(temp_list);

```

```

467         //qDebug() << "cells_matrix size:" << this->cells.size();
468     }
469     qDebug() << "cells_matrix created";
470 }
471
472 Transmitter* Simulation::getBaseStation(int index)
473 {
474     if (index < 0 || index >= this->baseStations.length()) {
475         qWarning("baseStations index out of range");
476         throw std::out_of_range("baseStations index out of range");
477     }
478     //return &this->baseStations.at(index);
479     return this->baseStations.at(index);
480 }
481
482 void Simulation::deleteBaseStation(int index)
483 {
484     if (index > 0 || index < this->baseStations.size())
485     {
486         this->baseStations.erase(this->baseStations.begin()+index);
487     } else if (index == 0)
488     {
489         qDebug("Cannot delete Base Station 1");
490     } else {
491         qWarning("deleteBaseStation error: index out of range");
492         throw std::out_of_range("deleteBaseStation error: index out of range");
493     }
494 }
495
496 QList<Obstacle*>* Simulation::getObstacles()
497 {
498     return &this->obstacles;
499 }
500
501 unsigned int Simulation::getNumberOfObstacles()
502 {
503     return this->obstacles.size();
504 }
505
506 unsigned int Simulation::getNumberOfBaseStations()
507 {
508     return this->baseStations.size();
509 }
510
511 quint64 Simulation::getSimulationTime() const
512 {
513     return this->simulation_time;
514 }
515
516 QGraphicsScene *Simulation::createGraphicsScene()//std::vector<Transmitter*>* TX)
517 {

```

```

518 // creates the QGraphicsScene (to give to QGraphicsView) and adds all graphics to it
519 qDebug() << "Creating graphics scene...";
520
521 QGraphicsScene* scene = new QGraphicsScene();
522
523 //Transmitter* TX = this->baseStations[0];
524
525 for (QList<Receiver*> cells_line : this->cells) {
526     for (Receiver* RX : cells_line) {
527         // compute total power and set it in RX
528         qreal _rx_power = 0.0;
529         for (Transmitter* tx : this->baseStations) {
530             qreal _pwr = RX->computeTotalPower(tx);
531             if (_pwr > _rx_power) {
532                 // cell has more power with this transmitter
533                 _rx_power = _pwr;
534             }
535         }
536
537         RX->power = _rx_power;
538
539         RX->updateBitrateAndColor();
540         QBrush _rxBrush = RX->graphics->brush();
541         if (this->showRaySingleCell) {
542             _rxBrush.setColor(Qt::black);
543         } else {
544             _rxBrush.setColor(RX->cell_color);
545         }
546         RX->graphics->setBrush(_rxBrush);
547
548         // Draw RX and add its tooltip
549         float _rx_power_dBm = 10*std::log10(RX->power*1000); // TODO: correct ? *1000
550         ↪ because is in Watts and need in mW :
551         //qDebug() << "RX power:" << _rx_power << "W," << _rx_power_dBm << "dBm";
552         //qDebug() << "RX bitrate:" << RX->bitrate_Mbps << "Mbps";
553
554         qreal bitrate_Mbps = RX->bitrate_Mbps;
555         if (bitrate_Mbps >= 1000) {
556             qreal bitrate_Gbps = bitrate_Mbps/1000;
557             RX->graphics->setToolTip(
558                 //QString("Receiver cell:\nx=%1 y=%2\nPower: %3 mW | %4 dBm\nBitrate:
559                 ↪ %5 Gbps\nDirect ray (%7 segments) coeffs list length: %6").arg(
560                 QString("Receiver cell:\nx=%1 y=%2\nPower: %3 mW | %4 dBm\nBitrate: %5
561                 ↪ Gbps").arg(
562                     QString::number(RX->x()),
563                     QString::number(RX->y()),
564                     QString::number(_rx_power*1000),
565                     QString::number(_rx_power_dBm, 'f', 2),
566                     QString::number(bitrate_Gbps, 'f', 2)
567                     //QString::number(RX->all_rays.first()->coeffsList.length()),
568                     //QString::number(RX->all_rays.first()->segments.length())

```

```

566         ));
567     } else {
568         RX->graphics->setToolTip(
569             //QString("Receiver cell:\nx=%1 y=%2\nPower: %3 mW | %4 dBm\nBitrate:
570             ↪ %5 Mbps\nDirect ray (%7 segments) coeffs list length: %6").arg(
571             QString("Receiver cell:\nx=%1 y=%2\nPower: %3 mW | %4 dBm\nBitrate: %5
572             ↪ Mbps").arg(
573                 QString::number(RX->x()),
574                 QString::number(RX->y()),
575                 QString::number(_rx_power*1000),
576                 QString::number(_rx_power_dBm, 'f', 2),
577                 QString::number(bitrate_Mbps)
578                 //QString::number(RX->all_rays.first()->coeffsList.length()),
579                 //QString::number(RX->all_rays.first()->segments.length())
580             ));
581     }
582     scene->addItem(RX->graphics);
583     //qDebug() << "RX.graphics:" << RX->graphics->rect();
584 }
585
586 qDebug() << "All receiver cells added to scene.";
587
588 // Draw all walls in wall_list
589 for (Obstacle* wall : this->obstacles){
590     //qDebug() << "Adding wall to scene...";
591     scene->addItem(wall->graphics);
592 }
593
594 qDebug() << "All walls added to scene.";
595
596 // TODO: feature : multiple transmitters ?
597 //for (Transmitter* TX : this->baseStations) {
598 //    // Draw TX and add its tooltip
599 //    TX->graphics->setToolTip(QString("Transmitter\nx=%1
600     ↪ y=%2\nG_TX*P_TX=%3").arg(QString::number(TX->x()), QString::number(TX->y()), QString::number(TX->gain*
601     //    scene->addItem(TX->graphics);
602     //    //qDebug() << "TX.graphics:" << TX->graphics->rect();
603     //}
604
605 for (Transmitter* TX : this->baseStations) {
606     TX->graphics->setToolTip(QString("Transmitter:\nx=%1 y=%2\nGain: %3\nPower:
607     ↪ %4W").arg(QString::number(TX->x()), QString::number(TX->y()), QString::number(TX->gain), QString::n
608     //qDebug() << "TX.graphics:" << TX->graphics->rect();
609     scene->addItem(TX->graphics);
610     qDebug() << "Transmitter added to scene.";
611 }
612
613 if (this->showRaySingleCell) {
614     // Draw all rays (their segments) from the all_rays list
615
616     for (Ray* ray :this->cells[0][0]->all_rays) {
617         qDebug() << "Drawing ray";

```



```

613         for (QGraphicsLineItem* segment_graphics : ray->getSegmentsGraphics()) {
614             scene->addItem(segment_graphics);
615         }
616     }
617
618     //// --- TEST only direct ---
619     //#ifdef DEBUG_SINGLE_CELL_DIRECT_RAY
620     //for (QGraphicsLineItem* gra :
621     ↪ this->cells[0][0]->all_rays.first()->getSegmentsGraphics()) {
622     //    scene->addItem(gra);
623     //}
624     //qDebug() << "number of coeffs:" <<
625     ↪ this->cells[0][0]->all_rays.first()->coeffsList.length();
626     //qDebug() << "T_m=" <<
627     ↪ this->cells[0][0]->all_rays.first()->coeffsList.first().real() << "+j" <<
628     ↪ this->cells[0][0]->all_rays.first()->coeffsList.first().imag();
629     //#endif
630     //// ---
631
632     qDebug() << "All rays added to scene.";
633
634     for (QVector2D point : this->singleCellSimReflectionPoints) {
635         qreal width = 0.04;
636         QGraphicsEllipseItem* reflection_graphics = new
637         ↪ QGraphicsEllipseItem(10*(point.x()-width),10*(point.y()-width),2*width*10,2*width*10);
638         reflection_graphics->setPen(QPen(Qt::green));
639         reflection_graphics->setBrush(QBrush(Qt::green));
640         reflection_graphics->setToolTip("Reflection point");
641         scene->addItem(reflection_graphics);
642     }
643
644     qDebug() << "All reflection points added to scene.";
645 }
646
647 addLegend(scene);
648
649 scene->setBackgroundBrush(QBrush(Qt::black)); // black background
650
651 qDebug() << "Scene created.";
652
653 return scene;
654 }
655
656 void Simulation::addLegend(QGraphicsScene* scene)
657 {
658     qDebug() << "Adding legend to scene";
659
660     QPen legendPen(Qt::white);
661     legendPen.setWidthF(0.3);
662
663     if (!this->showRaySingleCell) {

```

```

659
660     QLinearGradient gradient;
661     QRectF rect(6,85,138,10); // gradient rectangle scene coordinates
662     QGraphicsRectItem* gradient_graphics = new QGraphicsRectItem(rect);
663
664     gradient.setCoordinateMode(QGradient::ObjectBoundingMode);
665     gradient.setColorAt(0.0, QColor::fromRgb(255,0,0)); // blue
666     gradient.setColorAt(0.25, QColor::fromRgb(255,255,0)); // cyan
667     gradient.setColorAt(0.5, QColor::fromRgb(0,255,0)); // green
668     gradient.setColorAt(0.75, QColor::fromRgb(0,255,255)); // yellow
669     gradient.setColorAt(1.0, QColor::fromRgb(0,0,255)); // red
670     gradient.setStart(1.0, 0.0); // start left
671     gradient.setFinalStop(0.0, 0.0); // end right
672
673     QBrush gradientBrush(gradient);
674
675     gradient_graphics->setPen(legendPen);
676     gradient_graphics->setBrush(gradientBrush);
677     scene->addItem(gradient_graphics); // draw gradient rectangle
678     qreal rect_width = rect.width();
679     for (int i=0; i<5; i++) {
680         QGraphicsLineItem* small_line = new
        ↪ QGraphicsLineItem(rect.bottomLeft().x()+0.25*i*rect_width,rect.bottomLeft().y(),rect.bottomL
681         small_line->setPen(legendPen);
682         scene->addItem(small_line);
683     }
684
685     // text for minimum of gradient
686     //QGraphicsTextItem* min_text = new QGraphicsTextItem("-90dBm");
687     QGraphicsTextItem* min_text = new QGraphicsTextItem("50Mbps");
688     min_text->setPos(rect.bottomLeft().x()-6,rect.bottomLeft().y()+1);
689     min_text->setDefaultTextColor(Qt::white);
690     min_text->setScale(0.25);
691     // text for maximum of gradient
692     //QGraphicsTextItem* max_text = new QGraphicsTextItem("-40dBm");
693     QGraphicsTextItem* max_text = new QGraphicsTextItem("40Gbps");
694     max_text->setPos(rect.bottomRight().x()-6,rect.bottomRight().y()+1);
695     max_text->setDefaultTextColor(Qt::white);
696     max_text->setScale(0.25);
697
698     scene->addItem(min_text);
699     scene->addItem(max_text);
700 } else {
701     QGraphicsTextItem* ray_colors = new QGraphicsTextItem("Green line: Direct ray\nRed
        ↪ line: One-reflection ray\nYellow line: Two-reflections ray");
702     ray_colors->setPos(50,85);
703     ray_colors->setScale(0.2);
704     ray_colors->setDefaultTextColor(Qt::white);
705     scene->addItem(ray_colors);
706 }
707

```

```

708 // axes legends :
709 QGraphicsLineItem* x_line = new QGraphicsLineItem(0,-5,15*10,-5);
710 QGraphicsLineItem* y_line = new QGraphicsLineItem(-5,0,-5,8*10);
711 x_line->setPen(legendPen);
712 y_line->setPen(legendPen);
713 scene->addItem(x_line);
714 scene->addItem(y_line);
715 QGraphicsTextItem* x_label = new QGraphicsTextItem("x");
716 x_label->setPos(-2.5,-6.8);
717 x_label->setScale(0.15);
718 x_label->setDefaultTextColor(Qt::white);
719 scene->addItem(x_label);
720 QGraphicsTextItem* y_label = new QGraphicsTextItem("y");
721 y_label->setPos(-6,-3.7);
722 y_label->setScale(0.15);
723 y_label->setDefaultTextColor(Qt::white);
724 scene->addItem(y_label);
725 for (int x=0; x<=15; x++) {
726     QGraphicsLineItem* small_line = new QGraphicsLineItem(0+(x*10),-5,0+(x*10),-6);
727     small_line->setPen(legendPen);
728     QGraphicsTextItem* x_index = new QGraphicsTextItem(QString::number(x));
729     x_index->setPos(small_line->line().x2()-1.2,small_line->line().y2()-3.5);
730     x_index->setScale(0.15);
731     x_index->setDefaultTextColor(Qt::white);
732     scene->addItem(small_line);
733     scene->addItem(x_index);
734 }
735 QGraphicsTextItem* x_unit = new QGraphicsTextItem("[m]");
736 x_unit->setPos(-4.8,-6-3.7);
737 x_unit->setScale(0.15);
738 x_unit->setDefaultTextColor(Qt::white);
739 scene->addItem(x_unit);
740 for (int y=0; y<=8; y++) {
741     QGraphicsLineItem* small_line = new QGraphicsLineItem(-5,0+(y*10),-6,0+(y*10));
742     small_line->setPen(legendPen);
743     QGraphicsTextItem* y_index = new QGraphicsTextItem(QString::number(y));
744     y_index->setPos(small_line->line().x2()-2.3,small_line->line().y2()-2);
745     y_index->setScale(0.15);
746     y_index->setDefaultTextColor(Qt::white);
747     scene->addItem(small_line);
748     scene->addItem(y_index);
749 }
750 QGraphicsTextItem* y_unit = new QGraphicsTextItem("[m]");
751 y_unit->setPos(-6-3.4,-4.4);
752 y_unit->setScale(0.15);
753 y_unit->setDefaultTextColor(Qt::white);
754 scene->addItem(y_unit);
755
756 }

```

---

### B.3 transmitter.cpp

Ce fichier contient toute l'implémentation de la classe **Transmitter**.  
Le *header file* **.h** définissant la classe **Transmitter** se trouve dans le [Github](#) du projet.

---

```
1  #include "transmitter.h"
2
3  Transmitter::Transmitter(qreal x, qreal y, int selector_index, QString name){
4      // Transmitter object constructor
5      QBrush txBrush(Qt::white);
6      QPen txPen(Qt::gray);
7      txPen.setWidthF(6*0.07);
8
9      this->selector_index = selector_index;
10     this->name = name;
11
12     this->setX(x);
13     this->setY(y);
14     this->graphics->setToolTip(QString("Test transmitter x=%1
15     ↪ y=%2").arg(this->x(),this->y()));
16     this->graphics->setBrush(txBrush);
17     this->graphics->setPen(txPen);
18     //this->graphics->setRect(10*x-1.5,10*y-1.5,3,3);
19     this->setGraphicsRect(x,y);
20     this->graphics->setAcceptHoverEvents(true);
21 };
22
23 void Transmitter::setGraphicsRect(qreal x,qreal y)
24 {
25     this->graphics->setRect(10*x-1.2,10*y-1.2,2.4,2.4);
26 }
27
28 int Transmitter::getPower_dBm() const
29 {
30     return 10*std::log10(this->power*1000);
31 }
32
33 double Transmitter::getPower() const
34 {
35     return this->power;
36 }
37
38 qreal Transmitter::getG_TXP_TX() const
39 {
40     return this->gain*this->power;
41 }
42
43 void Transmitter::setPower_dBm(int power_dBm)
44 {
45     // TODO: correct ?
46     this->power = (10^(power_dBm/10))/1000; // dBm to Watts
```

```
46     qDebug() << "setPower:" << this->power << "Watts";
47 }
48
49 void Transmitter::changeCoordinates(QPointF new_coordinates)
50 {
51     this->setX(new_coordinates.x());
52     this->setY(new_coordinates.y());
53     this->setGraphicsRect(this->x(),this->y());
54 }
55
56 QPointF Transmitter::getCoordinates() const {
57     return this->toPointF();
58 }
```

---

## B.4 receiver.cpp

Ce fichier contient toute l'implémentation de la classe **Receiver**.  
Le *header file* **.h** définissant la classe **Receiver** se trouve dans le [Github](#) du projet.

---

```
1  #include "receiver.h"
2
3  #include <QBrush>
4  #include <QPen>
5  #include "parameters.h"
6
7  static constexpr qreal max_power_dBm = -40.0;
8  static constexpr qreal min_power_dBm = -90.0;
9  static constexpr qreal max_bitrate_Mbps = 40000;
10 static constexpr qreal min_bitrate_Mbps = 50;
11
12 Receiver::Receiver(qreal x, qreal y, qreal resolution, bool showOutline) {
13     // Receiver object constructor
14     QBrush rxBrush(Qt::black);
15     QPen rxPen;
16     if (showOutline){
17         rxPen.setColor(Qt::black);
18         rxPen.setWidthF(10*0.01);
19     } else {
20         rxPen.setColor(Qt::transparent);
21         rxPen.setWidth(0);
22     }
23
24     this->setX(x);
25     this->setY(y);
26     this->graphics->setToolTip(QString("Receiver x=%1 y=%2").arg(this->x(),this->y()));
27     this->graphics->setBrush(rxBrush);
28     this->graphics->setPen(rxPen);
29
30     ↪ this->graphics->setRect(10*(x-resolution/2),10*(y-resolution/2),10*resolution,10*resolution);
31     this->graphics->setAcceptHoverEvents(true);
32 }
33
34 void Receiver::updateBitrateAndColor()
35 {
36     qreal bitrate;
37     qreal power_dBm = 10*std::log10(this->power*1000);
38     if (this->power != this->power) {
39         bitrate = 999999999999999.9;
40         this->cell_color = QColor::fromRgb(255,192,203); // pink
41         qDebug() << "---- ! ERROR: Cell has NaN power ! ----";
42     } else if (power_dBm > max_power_dBm) {
43         bitrate = max_bitrate_Mbps; //in Mbps, 40 Gbps max from -40 dBm
44         this->cell_color = QColor::fromRgb(255,0,0); // red
45     } else if (power_dBm < min_power_dBm) { // 50 Mbps at -90 dBm
46         bitrate = 0; //in Mbps, no connection (0 Mbps)
47         this->cell_color = Qt::black; // Qt::transparent or Qt::black or Qt::darkBlue ?
```

```

46     } else {
47         // Conversion to bitrate (beware log scale)
48         qreal max_power_mW = std::pow(10.0, max_power_dBm / 10.0);
49         qreal min_power_mW = std::pow(10.0, min_power_dBm / 10.0);
50
51         //bitrate = min_bitrate_Mbps + (((this->power - min_power_mW/1000) /
52         ↪ (max_power_mW/1000 - min_power_mW/1000)) * (max_bitrate_Mbps -
53         ↪ min_bitrate_Mbps));
54         // OR ?
55         qreal max_bitrate_dB = 10*log10(max_bitrate_Mbps);
56         qreal min_bitrate_dB = 10*log10(min_bitrate_Mbps);
57         qreal bitrate_dB = min_bitrate_dB + (((power_dBm - min_power_dBm) / (max_power_dBm
58         ↪ - min_power_dBm)) * (max_bitrate_dB - min_bitrate_dB));
59         //qDebug() << "bitrate dB:" << bitrate_dB;
60         bitrate = pow(10.0, bitrate_dB / 10.0);
61         //qDebug() << "bitrate (Mbps):" << bitrate;
62
63         //qreal value_normalized = (power_dBm - min_power_dBm) / (max_power_dBm -
64         ↪ min_power_dBm);
65         // or
66         //qreal value_normalized = (this->power*1000 - min_power_mW) / (max_power_mW -
67         ↪ min_power_mW);
68         // or
69         //qreal value_normalized = (qreal(bitrate) - qreal(min_bitrate_Mbps)) /
70         ↪ (qreal(max_bitrate_Mbps) - qreal(min_bitrate_Mbps));
71         // or
72         qreal value_normalized = (bitrate_dB - min_bitrate_dB) / (max_bitrate_dB -
73         ↪ min_bitrate_dB);
74         //qDebug() << "value_normalized:" << value_normalized;
75
76         QColor color = computeColor(value_normalized);
77         // testing in monochrome :
78         //QColor color =
79         ↪ QColor::fromRgbF(value_normalized,value_normalized,value_normalized);
80         //qDebug() << "cell color:" << color;
81
82         this->cell_color = color;
83     }
84     //// DEBUG:
85     ////this->cell_color = Qt::black; // set ALL cells to black
86
87     this->bitrate_Mbps = bitrate;
88 }
89
90 QColor Receiver::computeColor(qreal value)
91 {
92     // Maps a normalized value to a 5 color gradient
93
94     // Define colors for the heatmap gradient
95     QColor colors[] = {
96         QColor(0, 0, 255),    // Blue

```

```

89         QColor(0, 255, 255), // Cyan
90         QColor(0, 255, 0),   // Green
91         QColor(255, 255, 0), // Yellow
92         QColor(255, 0, 0)    // Red
93     };
94
95     // Determine which two colors to interpolate between
96     int index1 = value * 4;
97     int index2 = index1 + 1;
98
99     // Calculate interpolation factor
100    qreal factor = (value * 4) - index1;
101
102    // Interpolate between the two colors
103    QColor color = colors[index1].toRgb();
104    QColor next_color = colors[index2].toRgb();
105
106    int red = color.red() + factor * (next_color.red() - color.red());
107    int green = color.green() + factor * (next_color.green() - color.green());
108    int blue = color.blue() + factor * (next_color.blue() - color.blue());
109
110    return QColor(red, green, blue);
111 }
112
113
114 qreal Receiver::computeTotalPower(Transmitter* transmitter) // returns final total power
    ↪ computation for this RX
115 {
116     qreal res = 0;
117     for (Ray* ray : this->all_rays) {
118         res+=ray->getTotalCoeffs(); // sum of all the rays' total coefficients and exp
            ↪ term, returns  $|G*G*T|^2 * |exp|^2$ 
119     }
120     //qDebug() << "computeTotalPower res+=ray->getTotalCoeffs" << res;
121     // multiply by the term before the sum:
122     res *= (60*pow(lambda,2))/(8*pow(M_PI,2)*Ra)*transmitter->gain*transmitter->power;
123
124     if (res != res) {
125         qDebug() << "computeTotalPower: NaN !!!";
126     }
127
128     //qDebug() << "computeTotalPower:" << res;
129     return res;
130 }
131
132
133

```

---



## B.5 obstacle.cpp

Ce fichier contient toute l'implémentation de la classe **Obstacle** pour les murs. Le *header file* **.h** définissant la classe **Obstacle** se trouve dans le [Github](#) du projet.

---

```
1  #include "obstacle.h"
2
3  #include <QPen>
4  #include <QVector2D>
5  #include "parameters.h"
6
7  /*
8   * The floorplan is 8m x 15m (x=0,y=0 top left to x=15,y=8 bottom right) :
9   *
10  * |      |      |      |      |
11  * |      |      |      |      |
12  * |      |      |      |      |
13  * |      |_ _|_ _ _|_ _ _|      |
14  * |_ _ _ _ _ _ _ _ _ _ _ _ _ _ _|
15  * |      |_ _ _ _ _ _ _ _ _ _ _ _|
16  * |      |##I      |      |      |
17  * |      |##I      |      |      |
18  * _ _ _ _ _ _ _ _ _ _ _ _ _ _ _
19  *
20  * _ or | : wall (concrete or drywall)
21  * # : lift (metal walls)
22  * I : metal door
23  * / : glass window
24  *
25  */
26
27  Obstacle::Obstacle(QVector2D start, QVector2D end, ObstacleType material, qreal
    ↳ thickness)//, int id)
28  {
29      // Wall object constructor
30      //qDebug("Creating wall...");
31      this->material = material;
32      //this->id = id;
33      this->thickness = thickness; // in meters
34      this->line = QLineF(start.x(),start.y(), end.x(), end.y());
35      QLineF graphics_line = QLineF(10*start.x(), 10*start.y(), 10*end.x(), 10*end.y());
36      //qDebug() << "Wall" << id << "line:" << this->line ;
37      QLineF normal_line = this->line.normalVector();
38      //qDebug() << "Line" << id << "normal:" << normal_line;
39      this->normal = QVector2D(normal_line.dx(),normal_line.dy()).normalized(); // !
    ↳ normalized !
40      //qDebug() << "Wall" << id << "normal:" << this->normal;
41      QLineF unit_line = this->line.unitVector();
42      //qDebug() << "Line" << id << "unitary:" << unit_line;
43      this->unitary = QVector2D(unit_line.dx(),unit_line.dy()).normalized(); // ! normalized
    ↳ !
```

```

44 //QDebug() << "Wall" << id << "unitary:" << this->unitary;
45 //QDebug("Setting Wall graphics line...");
46 this->graphics->setLine(graphics_line);
47
48 QPen pen(Qt::gray);
49 //pen.setWidthF(10*0.2);
50
51 switch (this->material) {
52 case BrickWall:
53     pen.setColor(Qt::darkRed);
54     pen.setWidthF(10*0.18);
55     this->properties.relative_permittivity = 3.95;
56     this->properties.conductivity = 0.073;
57     break;
58 case Window:
59     pen.setColor(Qt::white);
60     pen.setWidthF(10*0.08);
61     this->properties.relative_permittivity = 6.3919;
62     this->properties.conductivity = 0.00107;
63     break;
64 case MetalWall:
65     pen.setColor(Qt::gray);
66     pen.setWidthF(10*0.1);
67     this->properties.relative_permittivity = 1;
68     this->properties.conductivity = 1e7;
69     break;
70 case DryWall:
71     pen.setColor(Qt::lightGray);
72     pen.setWidthF(10*0.12);
73     this->properties.relative_permittivity = 2.7;
74     this->properties.conductivity = 0.05349;
75     break;
76 case ConcreteWall:
77     pen.setColor(Qt::darkMagenta);
78     pen.setWidthF(10*0.2);
79     this->properties.relative_permittivity = 6.4954;
80     this->properties.conductivity = 1.43;
81     break;
82 default:
83     pen.setColor(Qt::white);
84     pen.setWidthF(10*0.12);
85     this->properties.relative_permittivity = 1e-10;
86     this->properties.conductivity = 1e-10;
87     break;
88 }
89 this->graphics->setPen(pen);
90
91 this->properties.epsilon = epsilon_0 * this->properties.relative_permittivity;
92 complex<qreal> epsilon_tilde = this->properties.epsilon - j
93     ↪ *(this->properties.conductivity / omega);
94 this->properties.Z_m = sqrt(mu_0 / epsilon_tilde);

```

```

94
95     this->properties.gamma_m = j * omega * sqrt(mu_0 * epsilon_tilde);
96
97     //qDebug("Wall created.");
98     //qDebug() << this->material; // 1: glass, 4: concrete, 2: metal, 3: drywall, 0:
    ↪ brick
99     //qDebug() << "Z_m" << this->properties.Z_m.real() << "+j" <<
    ↪ this->properties.Z_m.imag();
100    //qDebug() << "gamma_m" << this->properties.gamma_m.real() << "+j" <<
    ↪ this->properties.gamma_m.imag();
101 }
102
103 ObstacleType Obstacle::getMaterial()
104 {
105     return this->material;
106 }

```

---

## B.6 ray.cpp

Ce fichier contient toute l'implémentation de la classe **Ray**.  
Le *header file* **.h** définissant la classe **Ray** se trouve dans le [Github](#) du projet.

---

```
1  #include "ray.h"
2
3  #include <QPen>
4  #include "parameters.h"
5
6  Ray::Ray(QPointF start, QPointF end) {
7      // Ray object constructor
8      this->start=start;
9      this->end=end;
10 }
11
12 void Ray::addCoeff(complex<qreal> coeff) {
13     // add a Transmission or Reflection coefficient to this ray's list of coeffs
14     //qDebug() << "Adding coeff to ray:" << coeff_module;
15     // which one to use ? :
16     if (coeff.real() != coeff.real() || coeff.imag() != coeff.imag() || coeff != coeff) {
17         qDebug() << "NaN coeff";
18     }
19     this->coeffsList.append(coeff);
20     //this->totalCoeffs*=pow(abs(coeff),2);
21 }
22
23 qreal Ray::getTotalCoeffs() {
24     // returns the total product of all of the ray's coefficients multiplied by the
25     ↪ exponent term
26     //qreal res = totalCoeffs;
27     //res *= pow(abs(exp(-j*beta_0*this->distance)/this->distance),2); // exp term
28     ///qDebug() << "getTotalCoeffs ray:" << res;
29     //return res;
30
31     qreal distance_ray = getTotalDistance();
32     //qDebug() << distance_ray;
33     qreal res = 1;
34     complex<qreal> res_q = 1;
35     for (complex<qreal> coeff : this->coeffsList) {
36         res_q*=coeff; // all coeffs
37     }
38     res = pow(abs(res_q),2);
39     res*=pow(abs(exp(-j*beta_0*distance_ray)/distance_ray),2); // exp term
40     //qDebug() << "computeAllCoeffs:" << res;
41     if (res != res) {
42         qDebug() << "NaN Total Coeff";
43     }
44     return res;
45 }
```

```

46 QList<QGraphicsLineItem*> Ray::getSegmentsGraphics(){
47     // returns this ray's graphics: list of its segment's QGraphicsItems
48     //qDebug() << "Getting ray segments graphics";
49     QPen ray_pen;
50     ray_pen.setWidthF(0.1);
51     // set ray graphics color depending on number of reflections
52     //qDebug() << "This ray has" << this->segments.length() << "segments, so" <<
    ↪ this->segments.length()-1 << "reflections";
53     this->num_reflections=this->segments.length()-1;
54     switch (this->num_reflections){
55     case 0: // no reflections: direct ray
56         //qDebug() << "This ray is direct";
57         ray_pen.setColor(Qt::green);
58         break;
59     case 1: // 1 reflection
60         //qDebug() << "This ray has 1 reflection";
61         ray_pen.setColor(Qt::red);
62         break;
63     case 2: // 2 reflection
64         //qDebug() << "This ray has 2 reflections";
65         ray_pen.setColor(Qt::yellow);
66         break;
67     }
68     QList<QGraphicsLineItem*> ray_graphics;
69     for (RaySegment* ray_segment: this->segments) {
70         //for (int i=0; i<this->segments.length(); i++) {
71         //qDebug() << "Adding this segment to list ray_graphics";
72         ray_segment->graphics->setPen(ray_pen);
73         //qDebug() << "before" << ray_segment->graphics;
74         ray_graphics.append(ray_segment->graphics);
75         //qDebug() << "after:" << ray_graphics;
76     }
77     return ray_graphics;
78 }
79
80 qreal Ray::getTotalDistance() {
81     // returns the total distance of this ray (which is the either the sum of the
    ↪ distances of each segments,
82     // or the distance between the last image and RX)
83
84     // TODO: ?
85     //qreal d = 0;
86     //for (RaySegment* segment : this->segments) {
87     //    d += segment->distance;
88     //}
89     //return d;
90
91     // ray's distance has already been changed
92     //qDebug() << "Ray getTotalDistance:" << this->distance;
93     return this->distance;

```



## B.7 raysegment.cpp

Ce fichier contient toute l'implémentation de la classe **RaySegment**.  
Le *header file* **.h** définissant la classe **RaySegment** se trouve dans le [Github](#) du projet.

---

```
1  #include "raysegment.h"
2
3  RaySegment::RaySegment(qreal start_x, qreal start_y, qreal end_x, qreal end_y) {
4      // RaySegment object constructor
5      this->setLine(start_x, start_y, end_x, end_y);
6      this->graphics->setLine(start_x*10, start_y*10, end_x*10, end_y*10);
7      this->distance = this->length();
8  }
```

---

## B.8 parameters.h

Ce fichier contient les paramètres de la simulation à définir lors de la compilation.

---

```
1  #ifndef PARAMETERS_H
2  #define PARAMETERS_H
3
4  #include <complex>
5  #include <QtTypes>
6
7  using namespace std;
8
9  constexpr complex<qreal> j(0, 1); // useful
10 constexpr qulonglong c = 3*1e8;
11 constexpr qreal epsilon_0 = 8.854187817e-12;
12 constexpr qreal mu_0 = 1.256637e-6; // 4 * M_PI * 1e-7; // 1.256637e-6; // ?
13 constexpr qreal freq = 60e9; // 60 GHz
14 constexpr qreal omega = 2 * M_PI * freq; // pulse
15 constexpr qreal wavelength = c/freq;
16 constexpr qreal lambda = wavelength;
17 const qreal Z_0 = sqrt(mu_0 / epsilon_0); // vacuum impedance
18
19 constexpr qreal max_x = 15;
20 constexpr qreal min_x = 0;
21 constexpr qreal min_y = 0;
22 constexpr qreal max_y = 8;
23 // resolution is set in simulation->resolution, user chosen at runtime
24
25 constexpr qreal beta_0 = 2*M_PI*freq/c; // beta
26
27 constexpr qreal G_TX = 1.7; // transmitter antenna gain, 1.64 or 1.7
28 constexpr qreal P_TX = 0.1; // transmitter power in Watts
29 constexpr qreal P_TX_dBm = 20; // transmitter power in dBm
30
31 #endif //PARAMETERS_H
```

---



## B.9 algorithme.cpp

Ce fichier contient l'implémentation de l'algorithme d'optimisation de placement de station de base, selon la moyenne la plus haute des puissances de chaque cellule, et selon le nombre minimum de cellules en dessous du seuil pour un débit binaire minimum.

---

```
1  #include "algorithme.h"
2  #include <QDebug>
3  #include <limits>
4  #include <cmath>
5
6  void runAlgo() {
7
8      qreal resolution = 0.5; // default is 0.5, or any resolution wanted
9
10     int number_of_tx_x = 15-1;
11     int number_of_tx_y = 8-1;
12
13     QPointF bestSimAveragePowerTX;
14     QPointF bestSimLessDisconnectedCellsTX;
15
16     qreal best_average_pow_dbm = -99999;
17     int min_num_of_disconnected_cells = 999999;
18
19     qDebug() << "num of TXs:" << number_of_tx_x*number_of_tx_y;
20     int g=0;
21     for (int x=0; x<number_of_tx_x; x++) {
22         for (int y=0; y<number_of_tx_y; y++) {
23             Simulation sim = Simulation(false);
24             sim.resolution = resolution;
25             // Créez et ajoutez une base station à la simulation
26             Transmitter* baseStation = new Transmitter(0.5+qreal(x),
27                 ↪ 0.5+qreal(y),0,"opti_BS");
28
29             sim.baseStations = {};
30             sim.baseStations.append(baseStation);
31
32             sim.run(nullptr); // run sim
33
34             bool better = false;
35             g++;
36             qreal total_pow_dbm = 0;
37             int num_of_disconnected_cells = 0;
38             int i = 0;
39             for (QList<Receiver*> cell_line : sim.cells) {
40                 for (Receiver* cell : cell_line) {
41                     i++;
42
43                     qreal _rx_power = cell->computeTotalPower(sim.baseStations[0]);
44                     cell->power = _rx_power;
45                     cell->updateBitrateAndColor();
```

```

45
46         total_pow_dbm += 10*log10(cell->power*1000);
47         if (10*std::log10(cell->power*1000) < -90) {
48             num_of_disconnected_cells++;
49         }
50         //qDebug() << "Cell" << i;
51     }
52 }
53 qreal average_pow_dbm;
54 if ((sim.cells.length()) * (sim.cells[0].length()) != 0) {
55     average_pow_dbm = total_pow_dbm/((sim.cells.length()) *
56     ↪ (sim.cells[0].length()));
57 } else {
58     average_pow_dbm = 0;
59 }
60 if (average_pow_dbm > best_average_pow_dbm) {
61     // this sim is a better sim
62
63     best_average_pow_dbm = average_pow_dbm;
64     bestSimAveragePowerTX = sim.baseStations[0]->getCoordinates();
65     better = true;
66 }
67 if (num_of_disconnected_cells < min_num_of_disconnected_cells) {
68
69     min_num_of_disconnected_cells = num_of_disconnected_cells;
70     bestSimLessDisconnectedCellsTX = sim.baseStations[0]->getCoordinates();
71     better = true;
72 }
73 qDebug() << "Sim" << g << ", TX" << sim.baseStations[0]->getCoordinates() <<
74     ↪ ", average power:" << average_pow_dbm << "dBm";
75 //if (!better) {
76 //if (true) {
77 //    for (QList<Receiver*> list : sim->cells) {
78 //        qDebug() << "Delete cell";
79 //    }
80 //    qDebug() << "Delete obstacles";
81 //    qDebug() << "Delete base stations";
82 //    delete sim;
83 //}
84 }
85
86 qDebug() << "for loop finished";
87
88 qDebug() << "Best sim average power: transmitter at" << bestSimAveragePowerTX;
89 qDebug() << "Best average power:" << best_average_pow_dbm << "dBm";
90 qDebug() << "-----";
91 qDebug() << "Best sim min num of disconnected cells: transmitter at" <<
92     ↪ bestSimLessDisconnectedCellsTX;
93 qDebug() << "Min num of disconnected cells:" << min_num_of_disconnected_cells;
94
95 //qDebug() << "best sim p*:" << bestSimAveragePower;

```



## B.10 Autres parties du code

D'autres parties du code sont disponibles sur le Github du projet :  
[https://github.com/LucasPlacentino/802\\_11ay-Raytracing-Simulator](https://github.com/LucasPlacentino/802_11ay-Raytracing-Simulator).

Ceci inclut :

- **mainwindow.cpp** (et son **.h**) : classe s'occupant de l'interface utilisateur.
- **tp4.cpp** : code reprenant l'implémentation de la simulation exclusivement utilisée pour le TP4, qui a servi de base initiale avant d'étendre les fonctionnalités au projet global.
- **CMakeLists.txt** : le CMake généré et utilisé par *QtCreator*.

# Bibliographie

- [De 24] Philippe DE DONCKER. "Syllabus ELEC-H304 - Physique des télécommunications". <https://uv.ulb.ac.be/course/view.php?id=116686>. 2024.
- [Hor23] Francois HORLIN. "Syllabus ELEC-H311 - Signaux et systèmes de télécommunications". <https://uv.ulb.ac.be/course/view.php?id=116698>. 2023.
- [PYP08] Yosef PINHASI, Asher YAHALOM et Sergey PETNEV. "Propagation of ultra wide-band signals in lossy dispersive media". In : 2008, p. 1-10. ISBN : 978-1-4244-2097-1. DOI : 10.1109/COMCAS.2008.4562803.